

Supporting Information

**Synthesis and evaluation of new pirfenidone derivatives as anti-fibrosis agents**

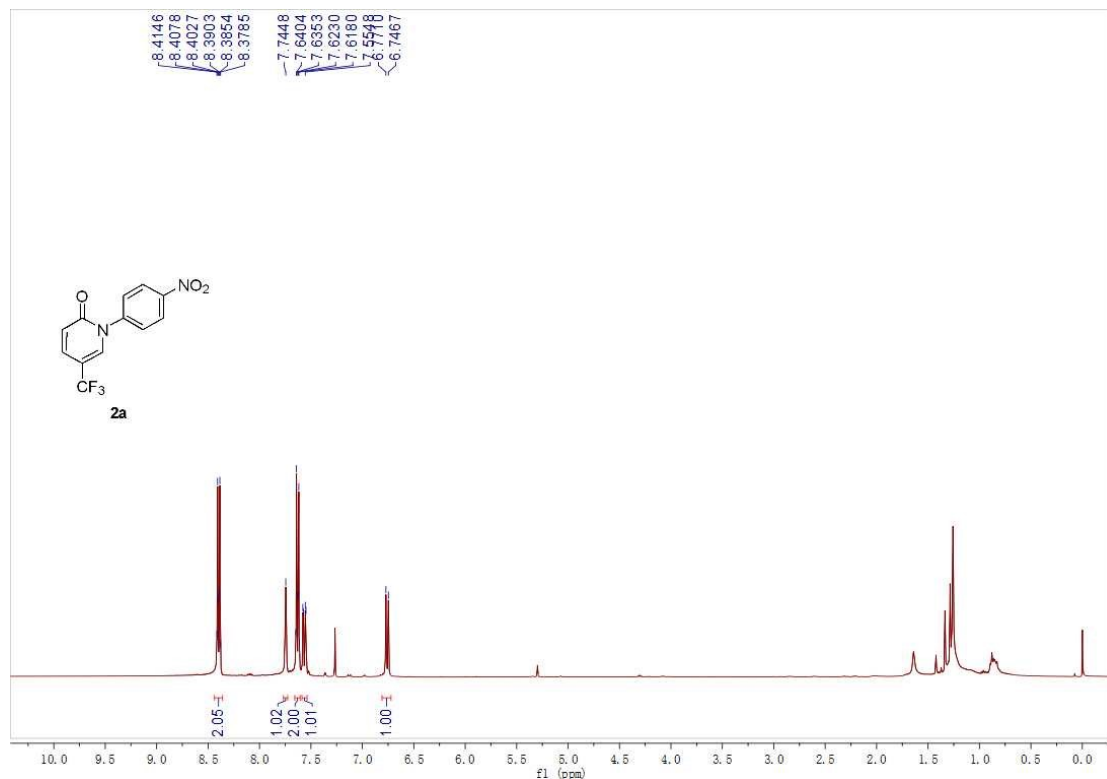
Chenxi Gu<sup>a</sup>, Wei Li<sup>a</sup>, Qing Ju<sup>b</sup>, Han Yao<sup>a</sup>, Lisheng Yang<sup>a</sup>, Baijiao An<sup>b</sup>, Wenhao Hu<sup>a\*</sup> and Xingshu Li<sup>a\*</sup>

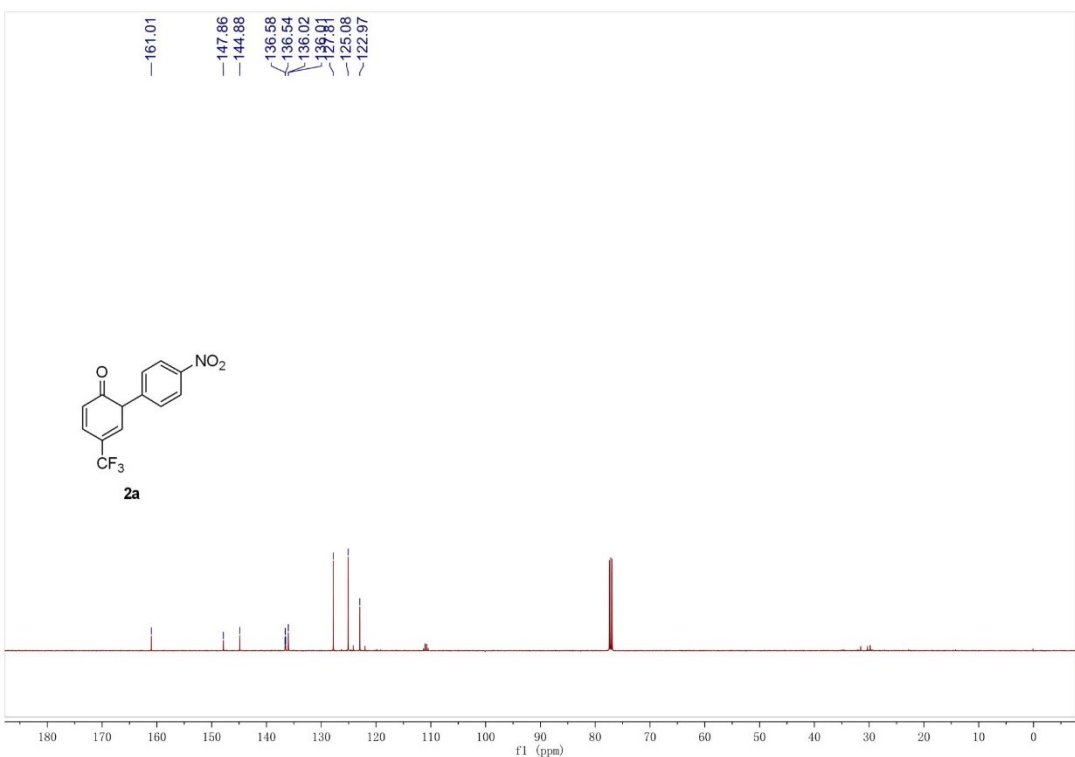
<sup>a</sup>School of Pharmaceutical Sciences, Sun Yat-Sen University, Guangzhou 510006, PR China.

<sup>b</sup>Medicine and Pharmacy Research Center, Binzhou Medical University, Yantai, Shandong Province, 264003, PR China

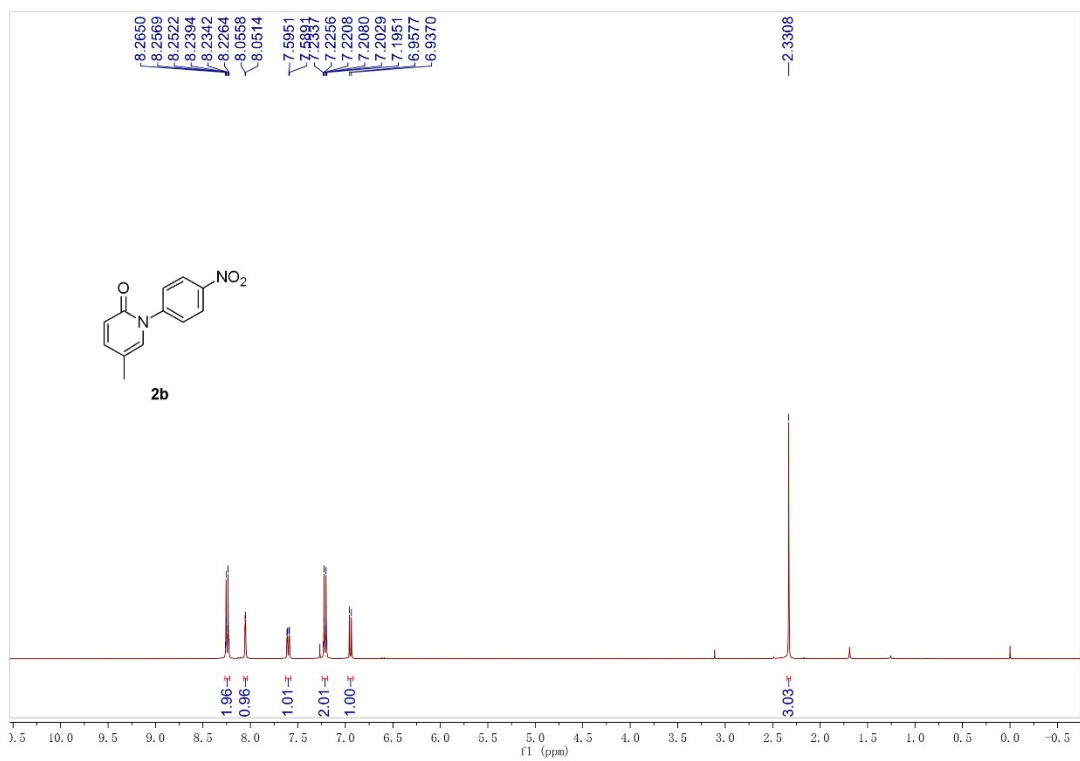
**<sup>1</sup>H NMR, <sup>13</sup>C NMR, Mass and HPLC spectral data of compounds.**

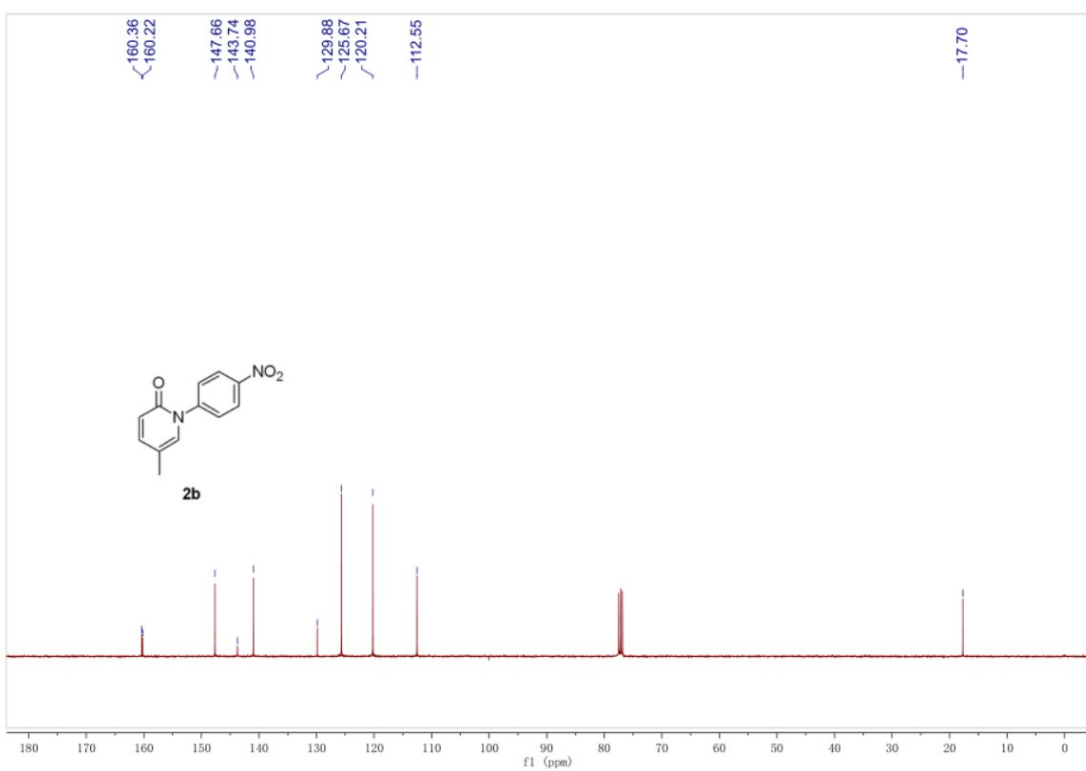
**<sup>1</sup>H NMR and <sup>13</sup>C NMR of 2a**



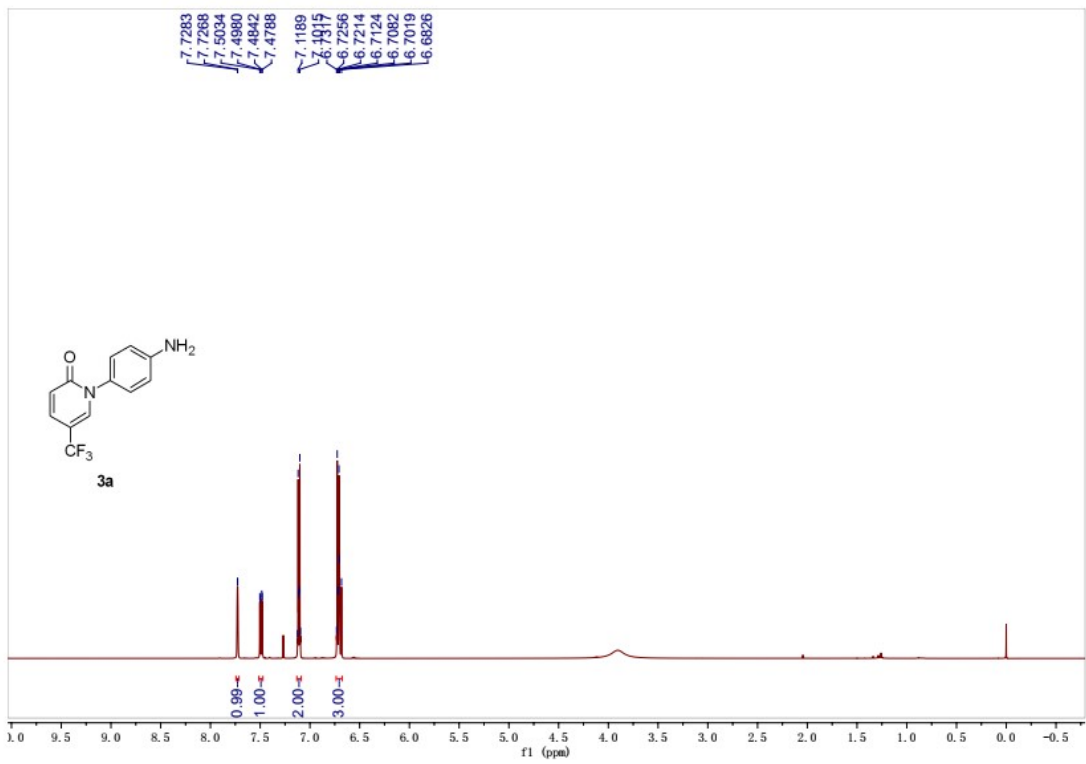


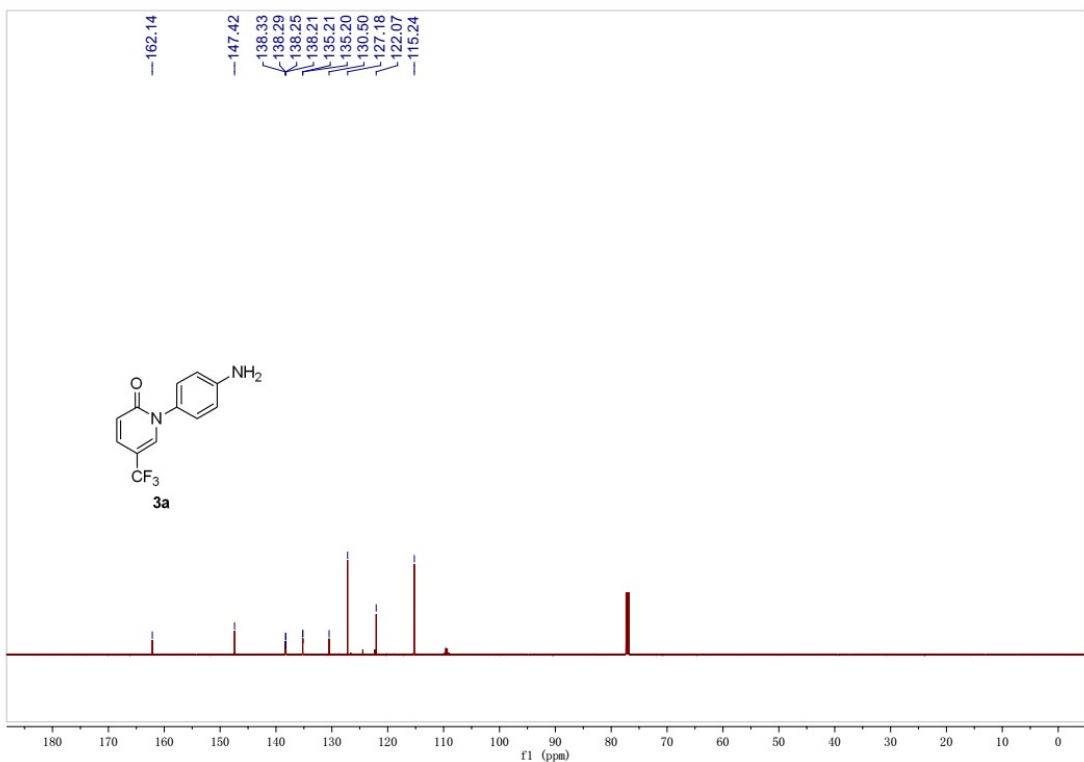
**<sup>1</sup>H NMR and <sup>13</sup>C NMR of 2b**



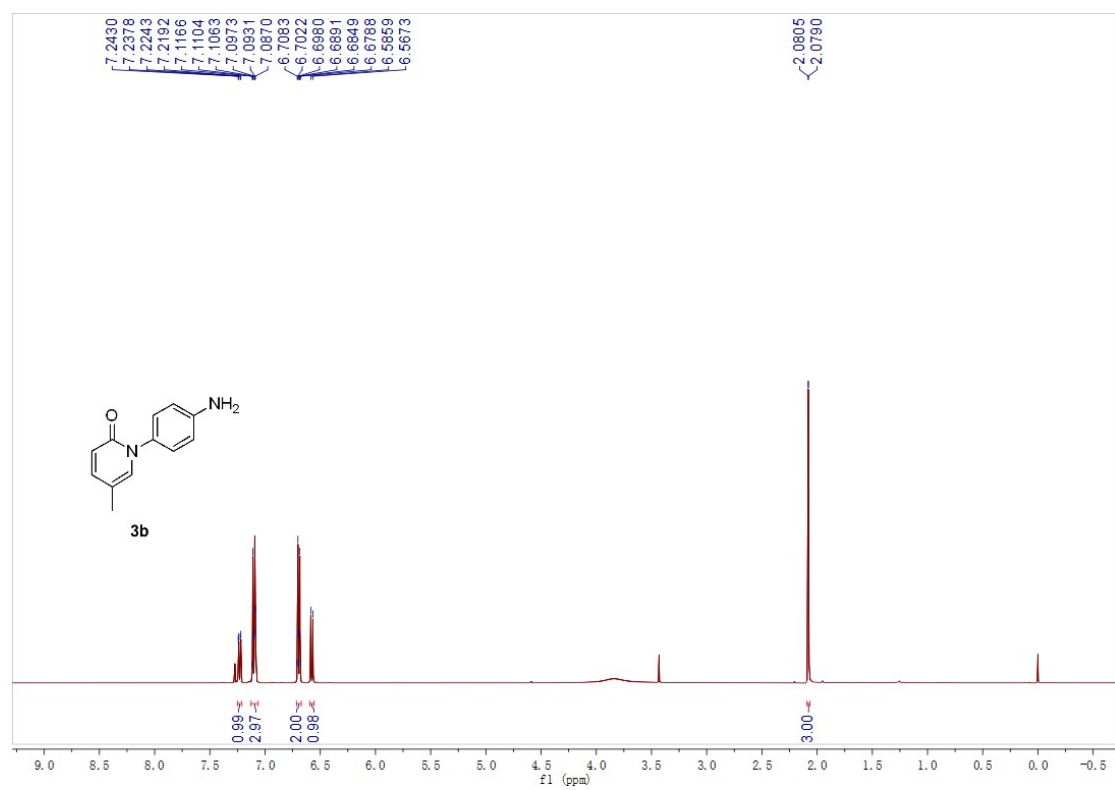


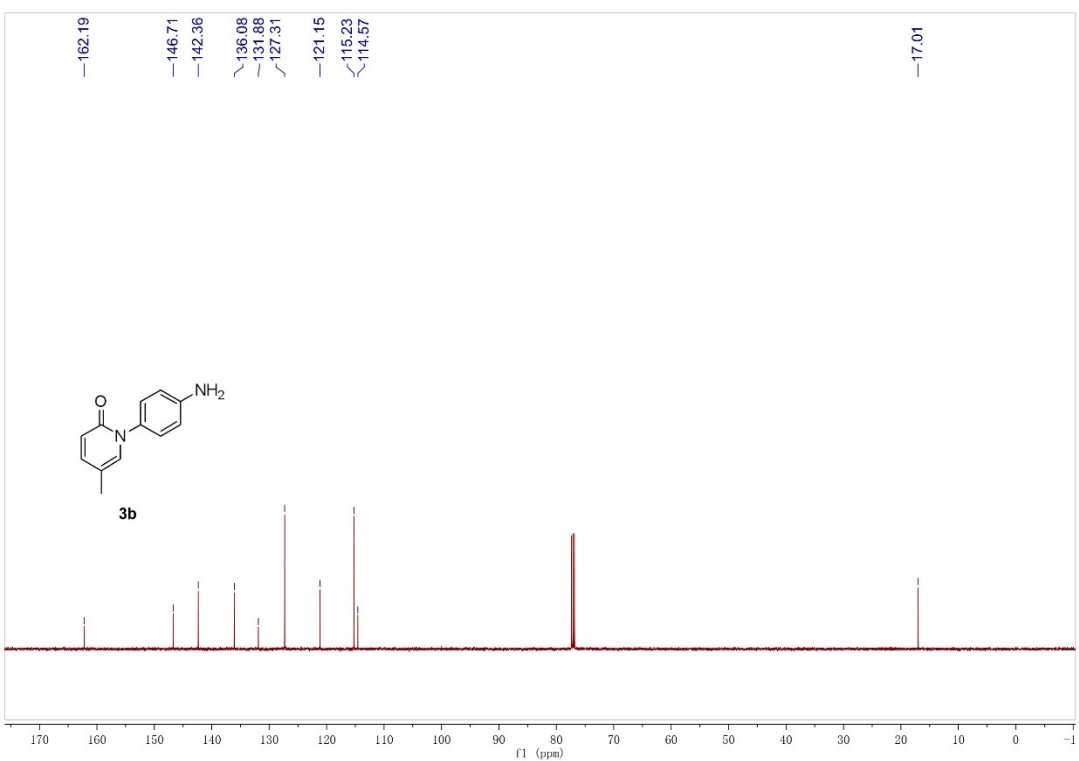
<sup>1</sup>H NMR and <sup>13</sup>C NMR of *3a*



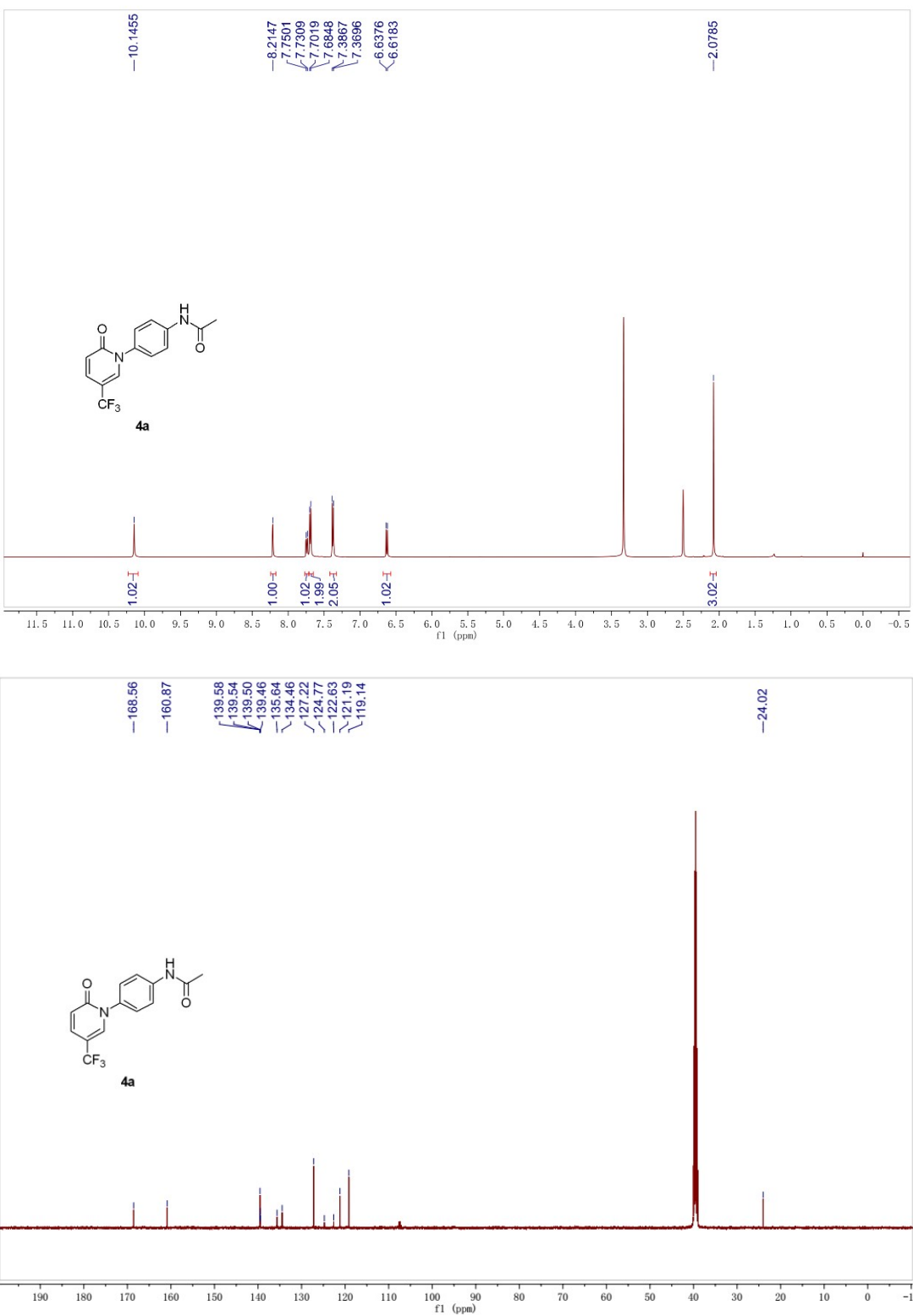


**<sup>1</sup>H NMR and <sup>13</sup>C NMR of 3b**

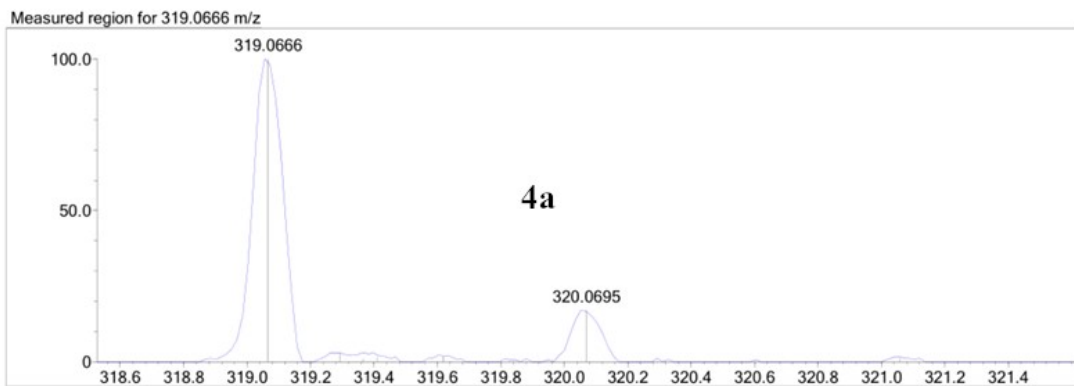




<sup>1</sup>H NMR and <sup>13</sup>C NMR of 4a

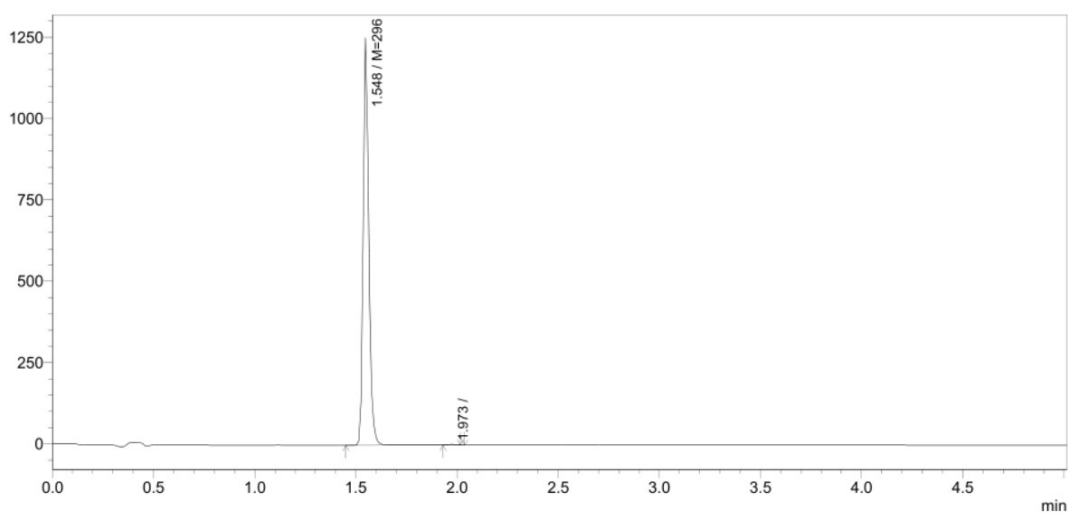


**Mass of 4a**



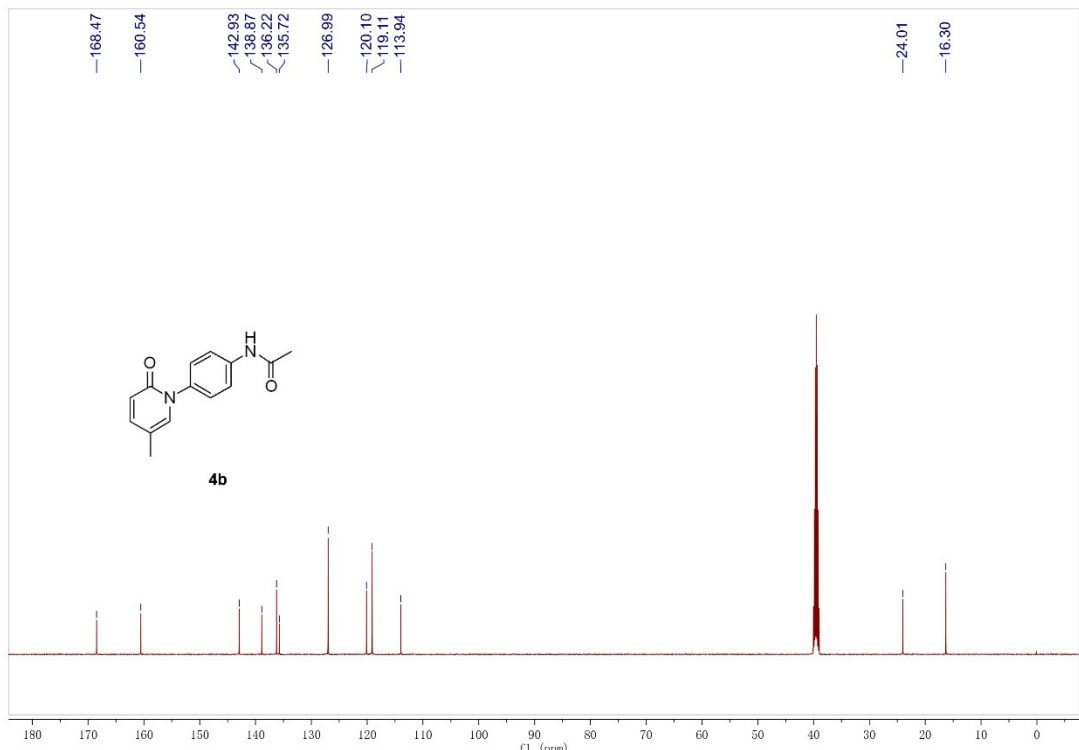
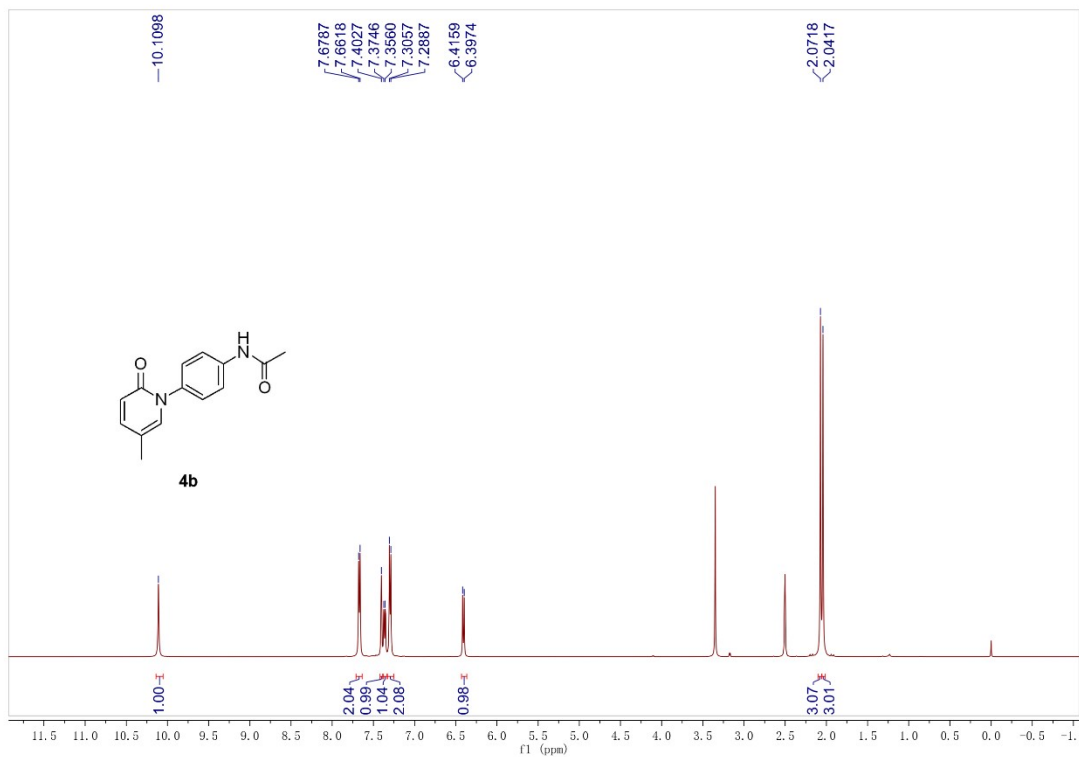
### HPLC of *4a*

mAU



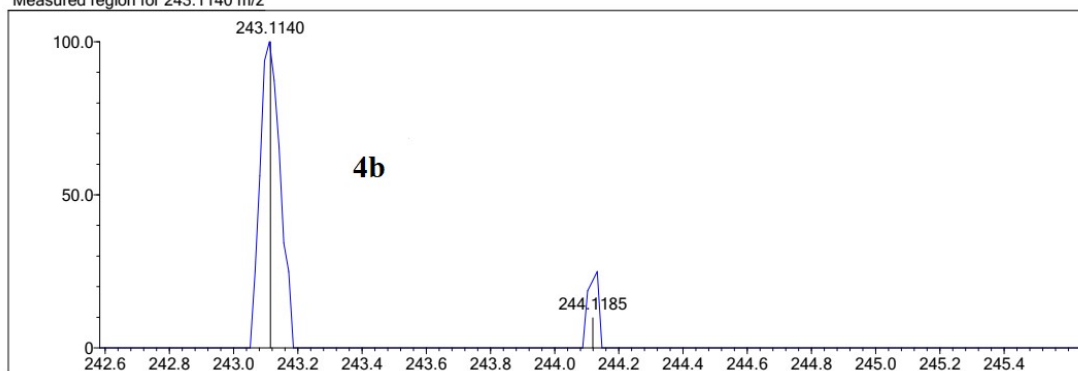
峰表							
PDA Ch1 254nm	保留时间	化合物名	峰宽(高度 50%)	高度	面积	面积%	理论塔板数(USP)
	1.548 M=296		0.029	1252978	2388386	99.788	10908
	1.973		0.027	3007	5078	0.212	22598
				1255985	2393463	100.000	

**<sup>1</sup>H NMR and <sup>13</sup>C NMR of 4b**



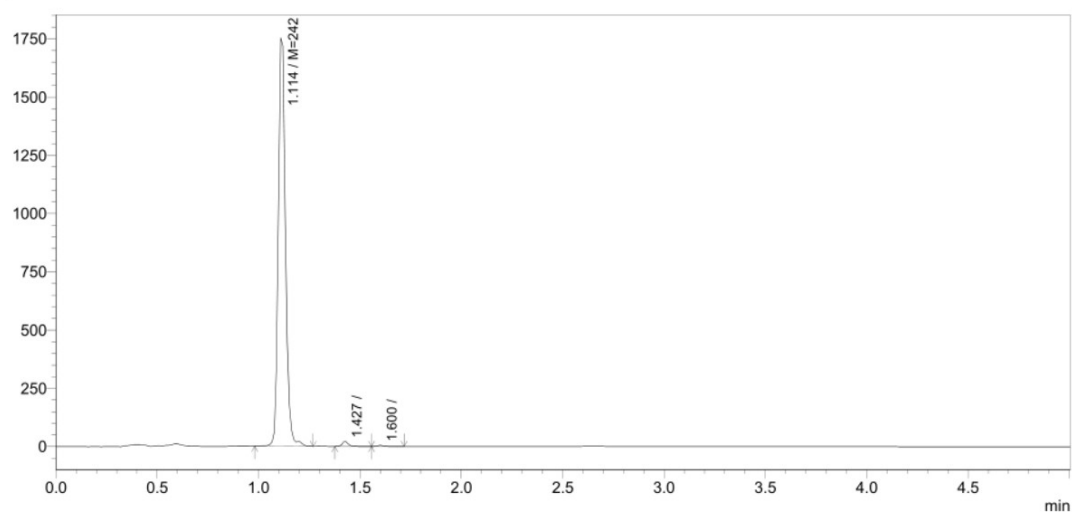
**Mass of 4b**

Measured region for 243.1140 m/z



### HPLC of *4b*

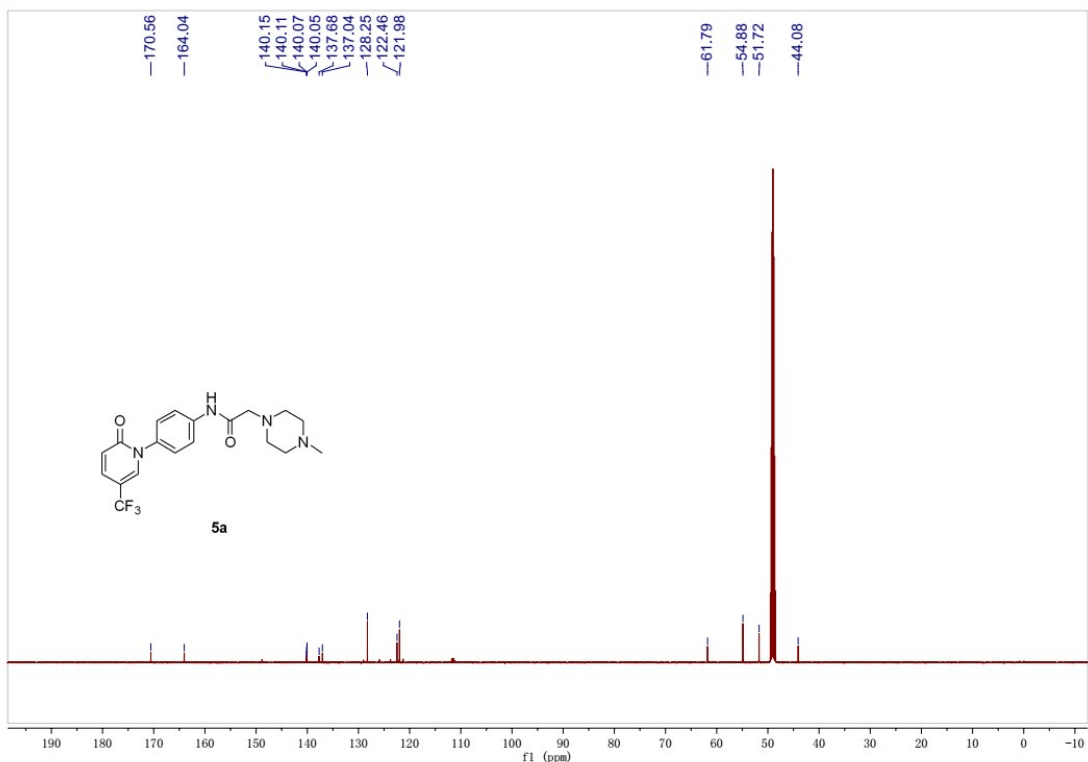
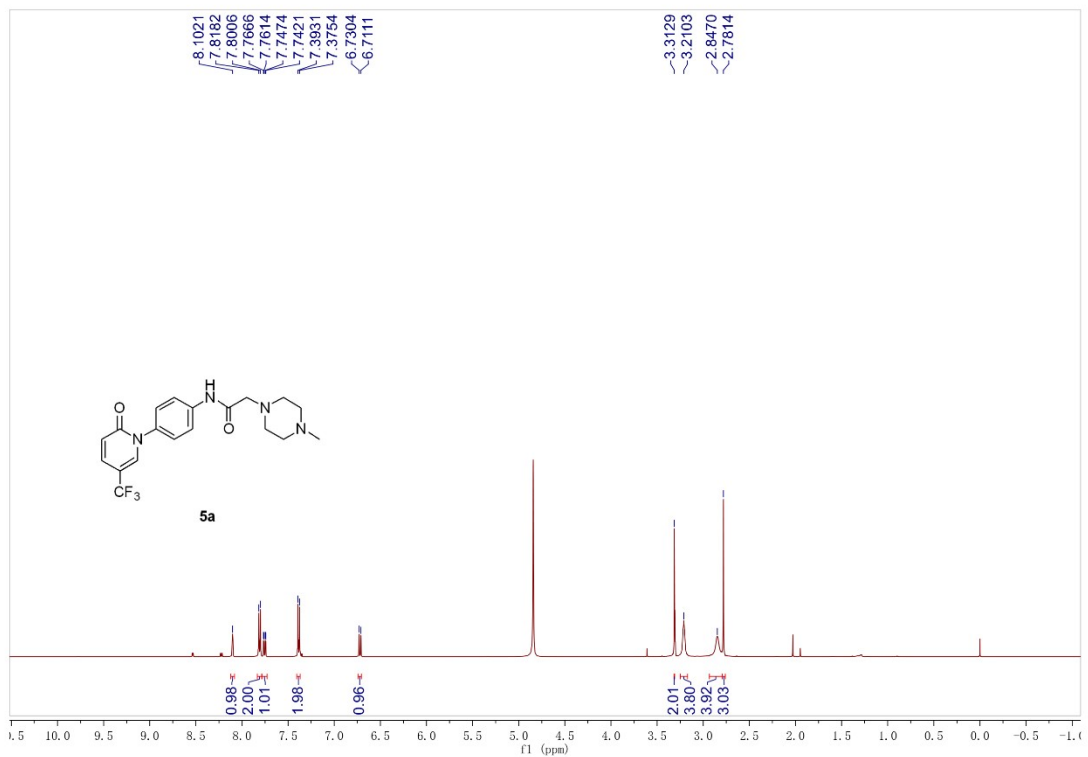
mAU



峰表

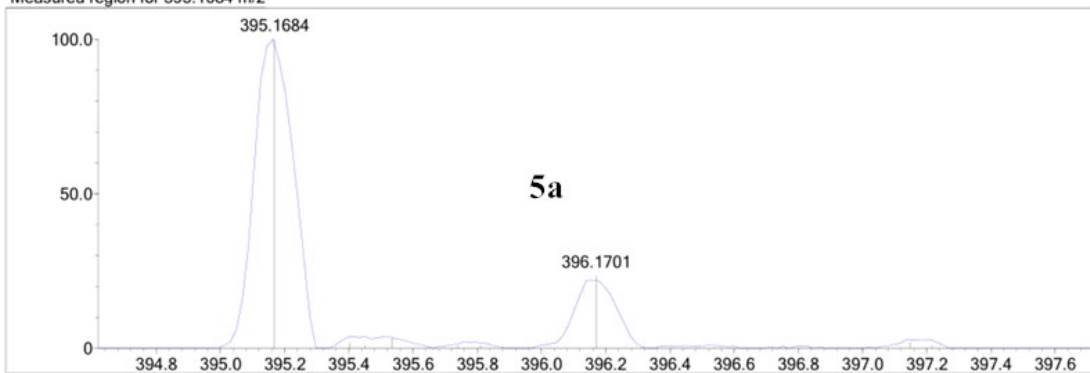
PDA Ch1 254nm 保留时间	化合物名	峰宽(高度 50%)	高度	面积	面积%	理论塔板数(USP)	拖尾因子	分离度(USP)
1.114 M=242		0.037	1753851	4319620	98.676	3789	1.153	-
1.427		0.030	22461	46482	1.062	8886	1.088	4.711
1.600		0.030	5587	11472	0.262	11584	1.508	2.871
			1781900	4377573	100.000			

**<sup>1</sup>H NMR and <sup>13</sup>C NMR of 5a**

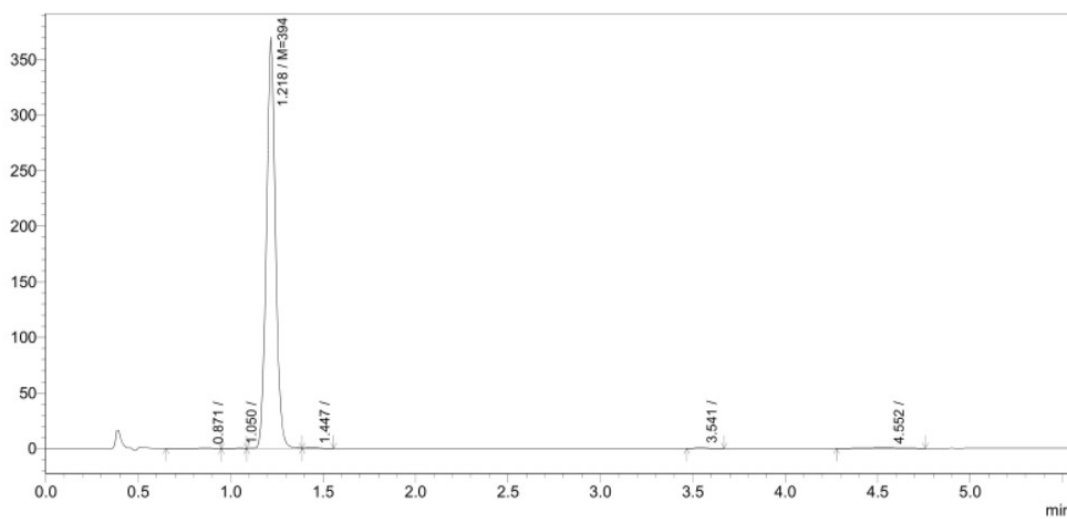


**Mass of 5a**

Measured region for 395.1684 m/z

**HPLC of 5a**

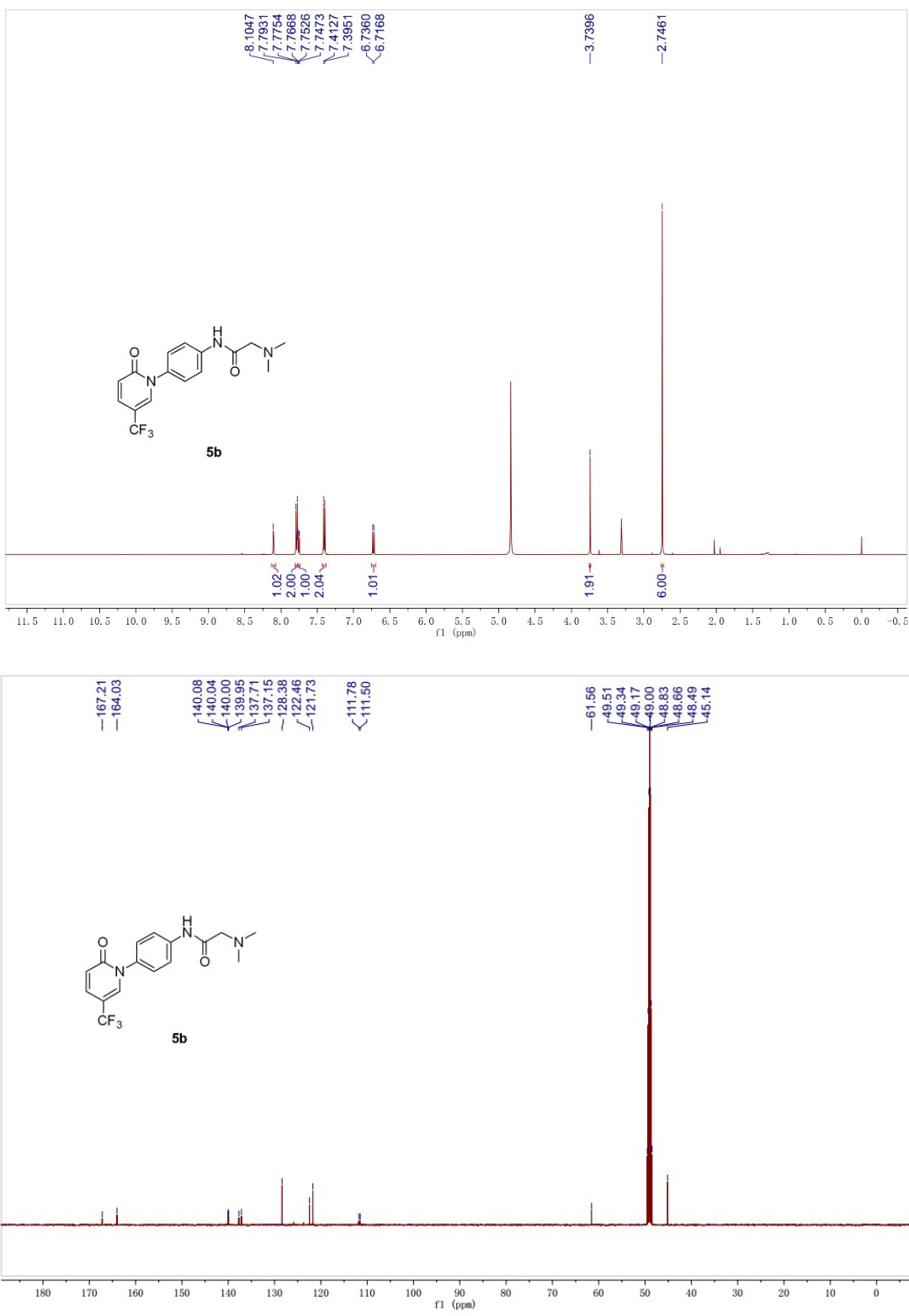
mAU



PDA Ch1 254nm

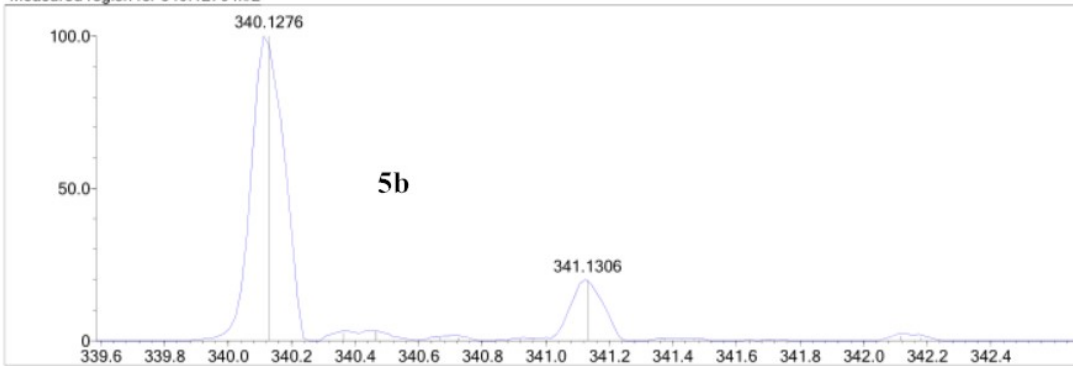
保留时间	化合物名	峰宽(高度 50%)	高度	面积	面積%	理论塔板数(USP)	拖尾因子	分离度(USP)
0.871		0.113	330	2574	0.200	289	0.657	—
1.050		—	365	1526	0.119	834	—	1.024
1.218 M=394		0.052	370957	1271273	98.740	2162	1.059	1.345
1.447		—	628	3638	0.283	479	—	1.239
3.541		0.048	991	3237	0.251	21832	1.507	11.615
4.552		0.255	338	5246	0.407	2259	0.858	4.222
			373608	1287493	100.000			

**<sup>1</sup>H NMR and <sup>13</sup>C NMR of 5b**



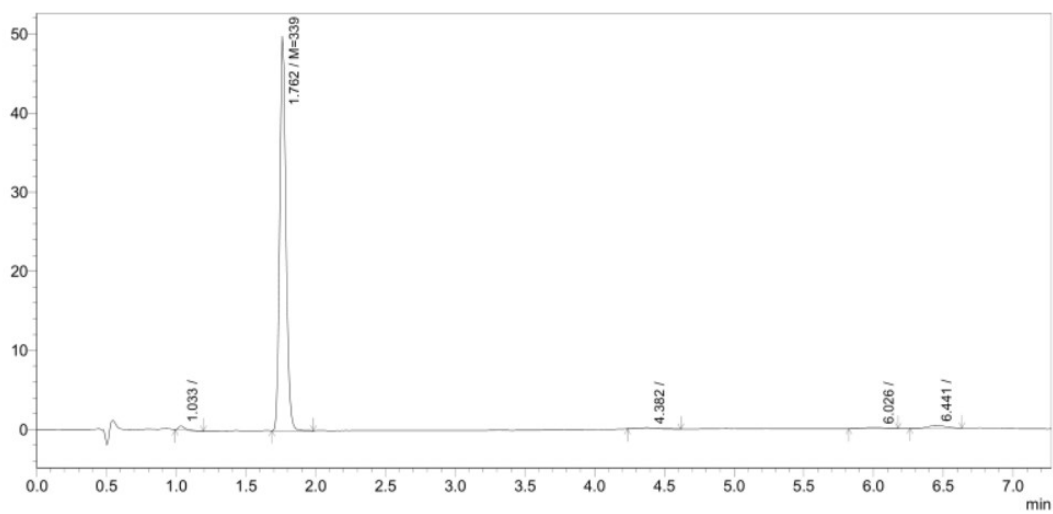
**Mass of 5b**

Measured region for 340.1276 m/z



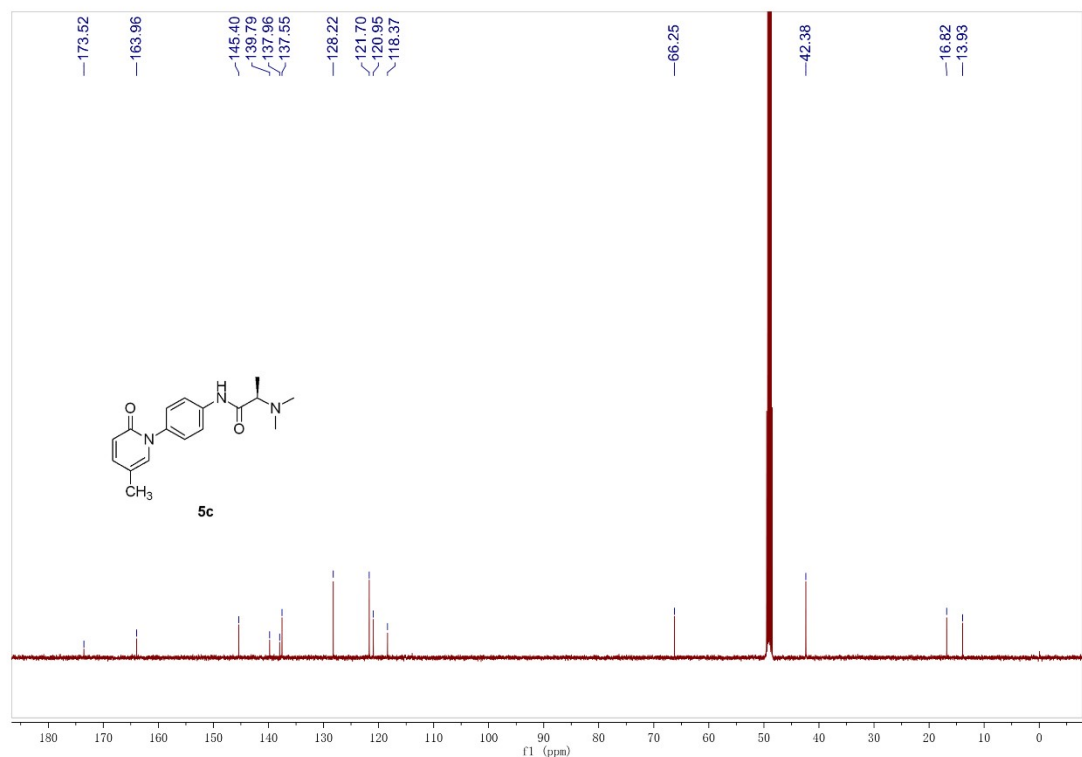
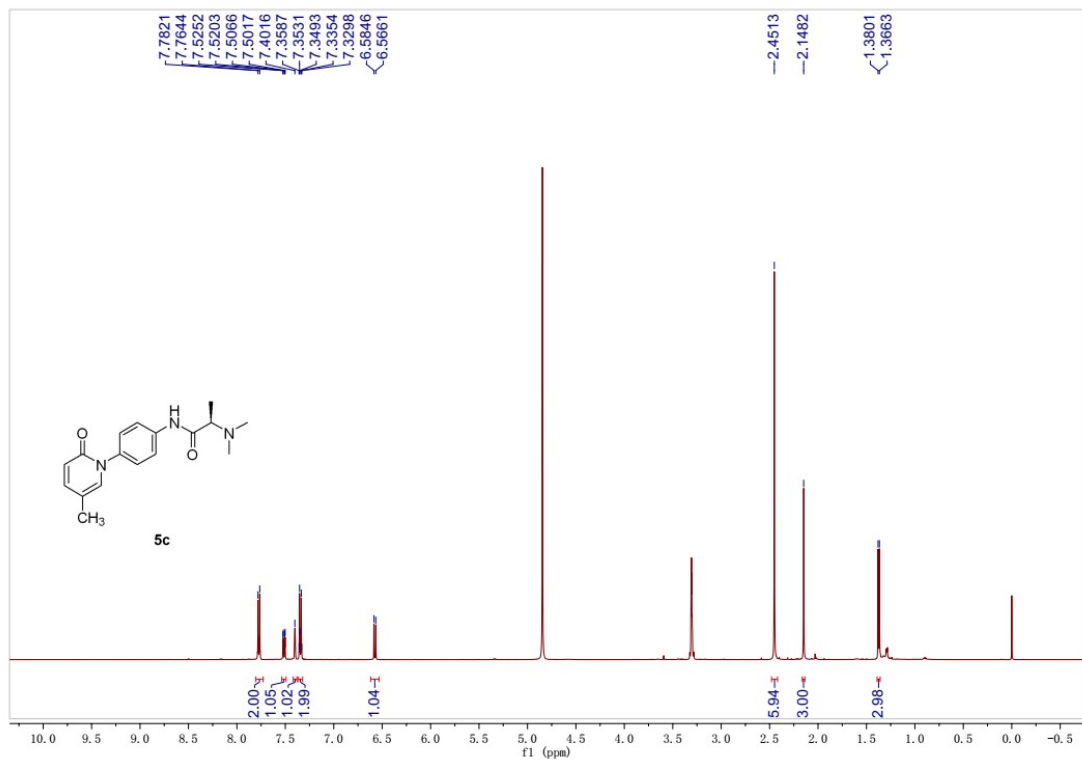
### HPLC of *5b*

mAU

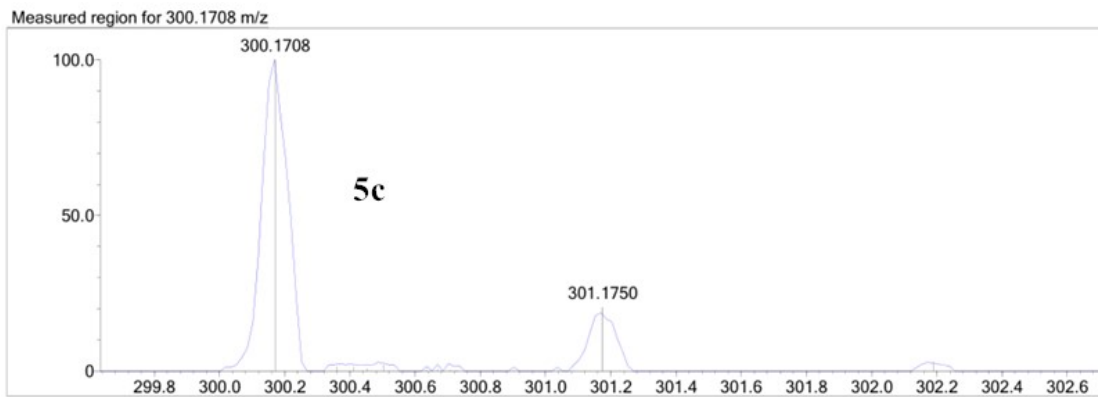


峰表							
PDA Ch1 254nm	保留时间	化合物名	峰宽(高度 50%)	高度	面积	面积%	理论塔板数(USP)
	1.033		0.049	516	1609	1.000	1838
	1.762 M=339		0.047	49882	154007	95.716	5455
	4.382		0.147	142	1354	0.842	4439
	6.026		0.146	117	1155	0.718	9162
	6.441		0.135	331	2774	1.724	11368
				50989	160899	100.000	

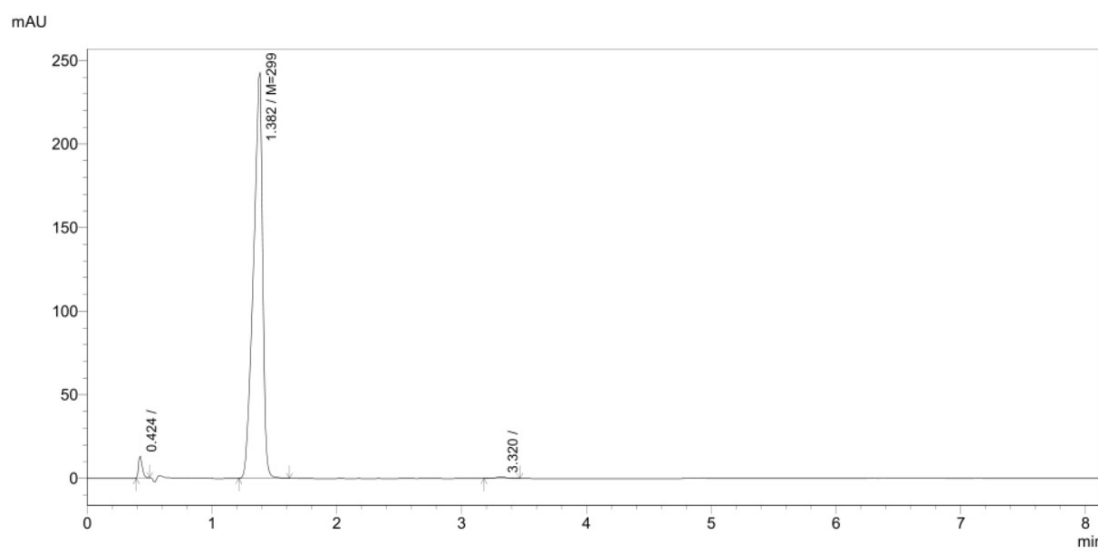
**<sup>1</sup>H NMR and <sup>13</sup>C NMR of 5c**



**Mass of 5c**

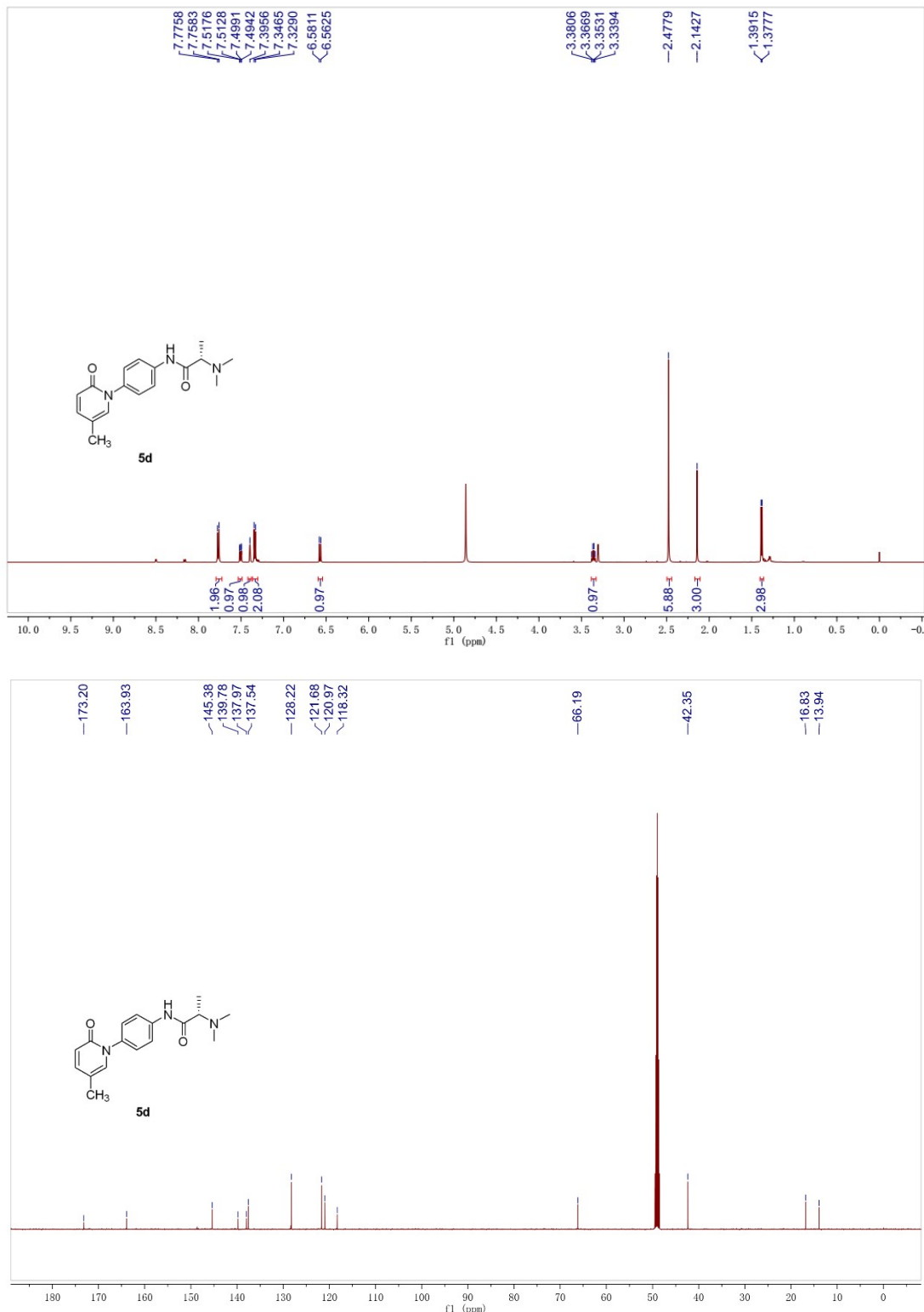


### HPLC of *5c*

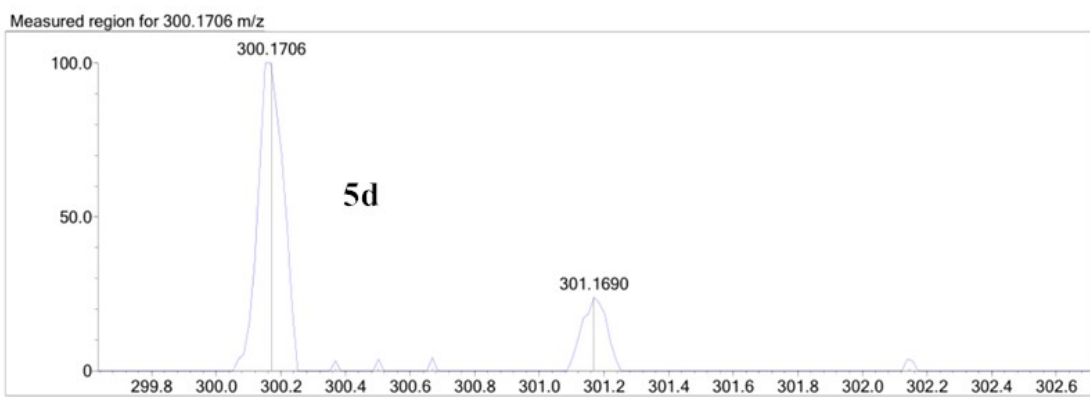


峰表							
PDA Ch1 254nm	化合物名	峰宽(高度 50%)	高度	面积	面积%	理论塔板数 (USP)	拖尾因子
0.424		0.031	13256	26897	2.129	930	1.341
1.382 M=299		0.077	243125	1230946	97.424	1350	0.773
3.320		0.078	1055	5653	0.447	6938	1.047
			257435	1263497	100.000		12.511

### <sup>1</sup>H NMR and <sup>13</sup>C NMR of 5d

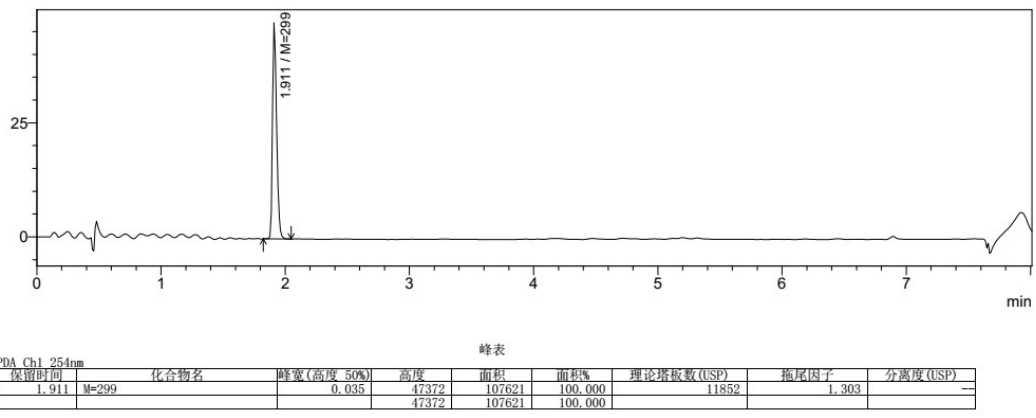


Mass of  $5d$

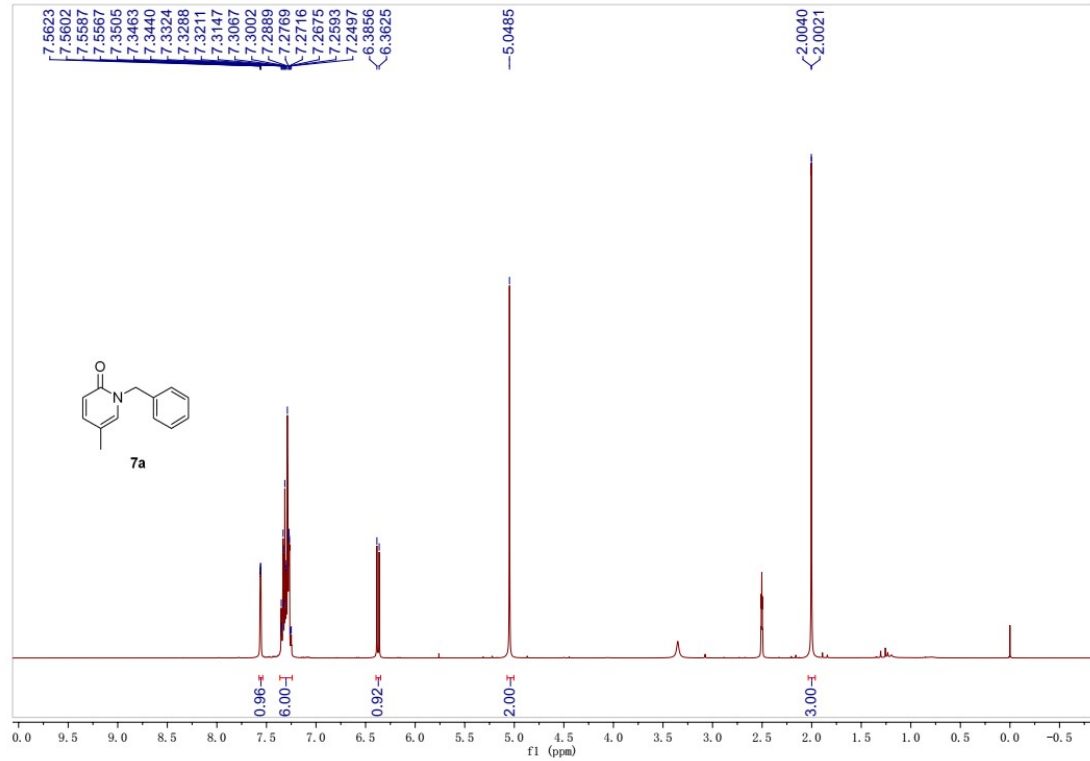


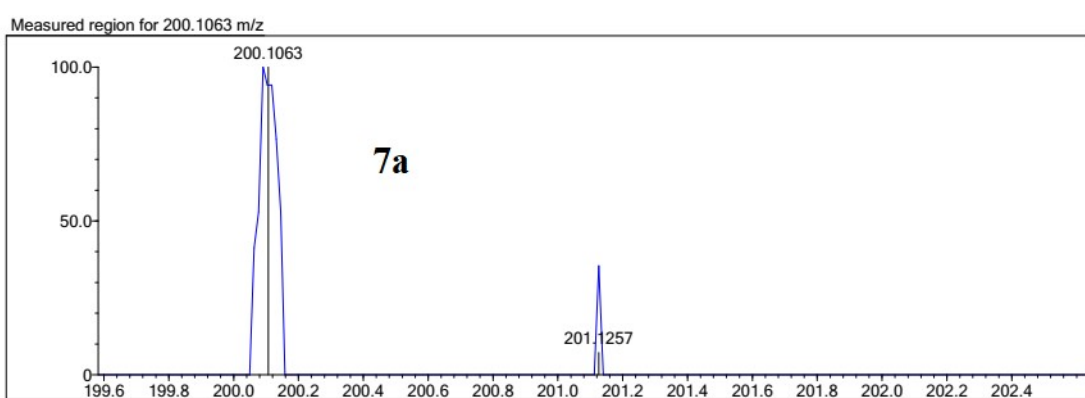
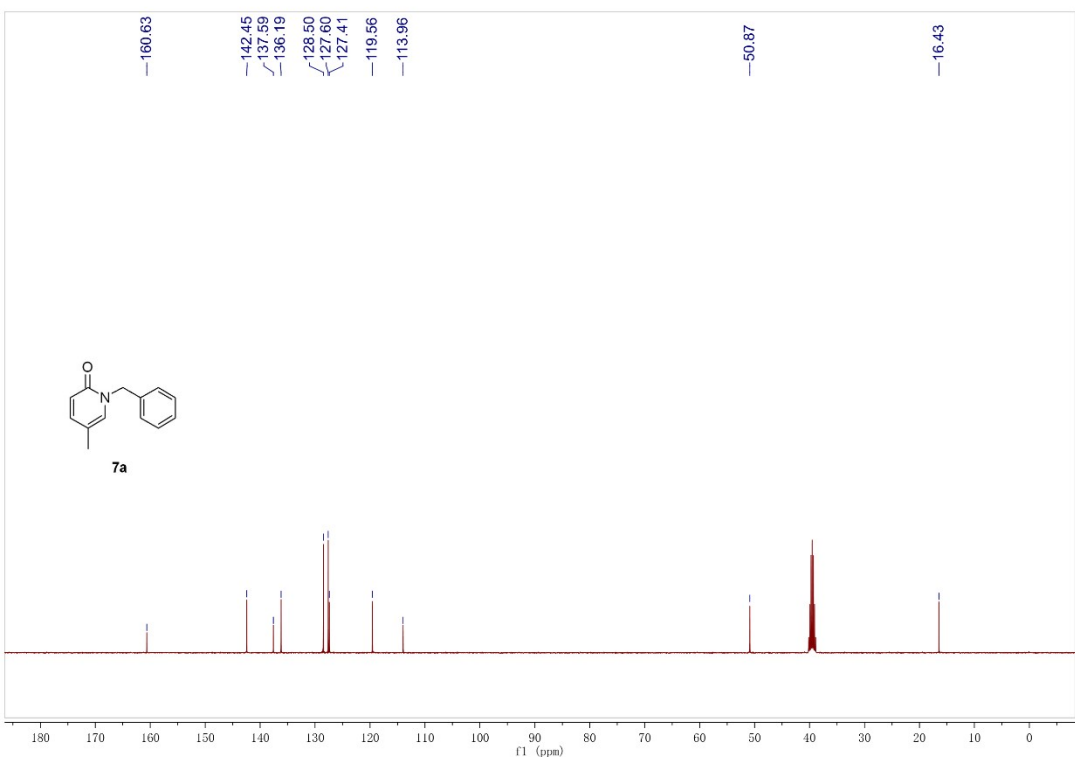
### HPLC of *5d*

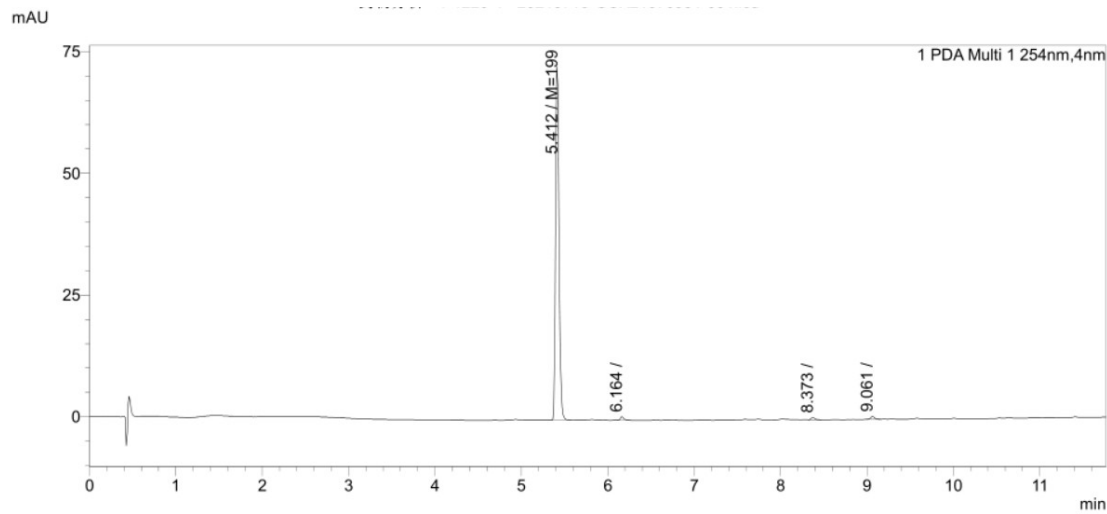
mAU



**<sup>1</sup>H NMR and <sup>13</sup>C NMR of 7a**

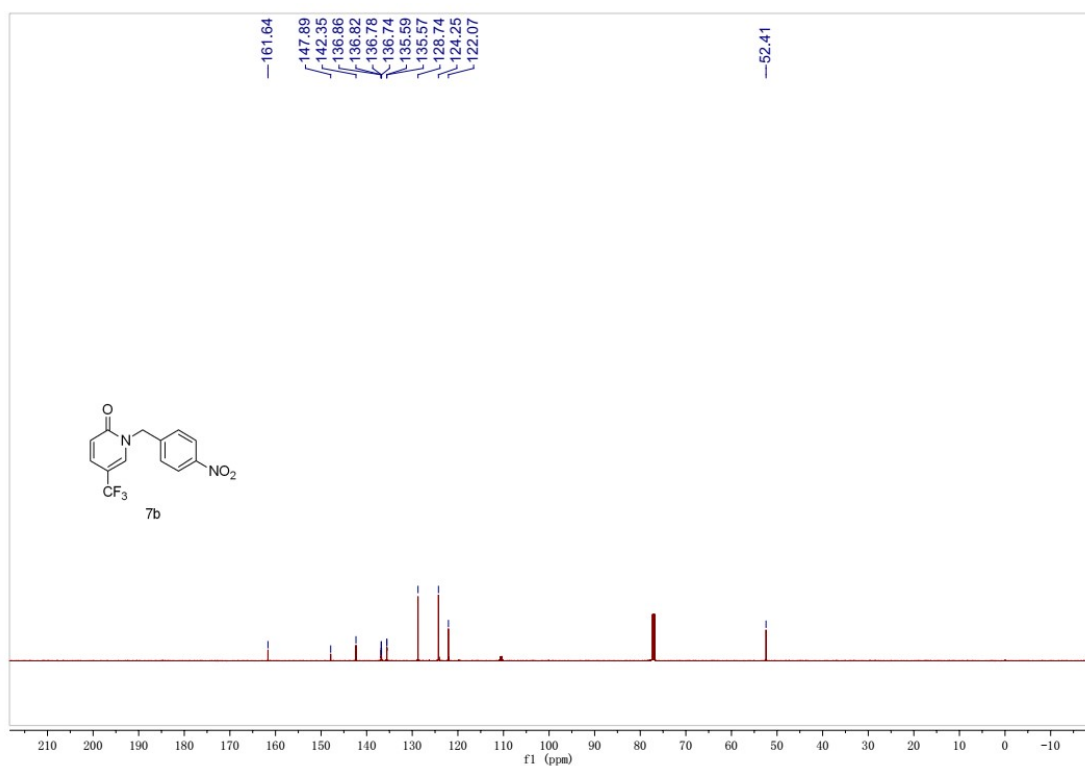
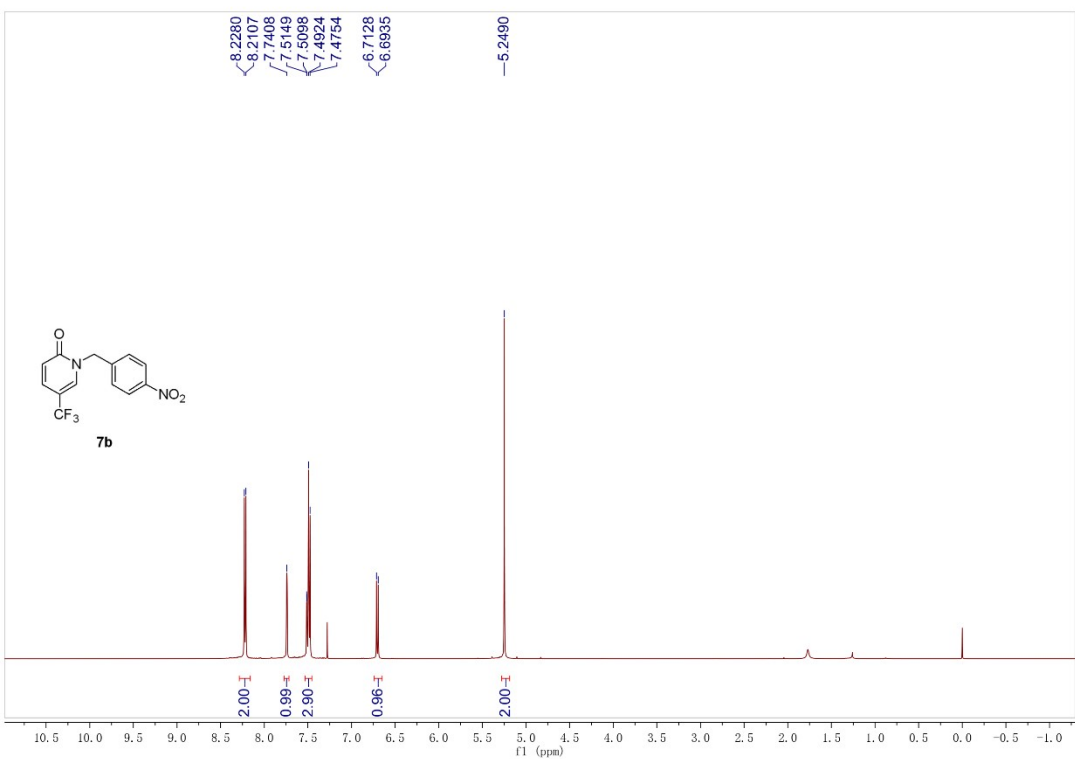




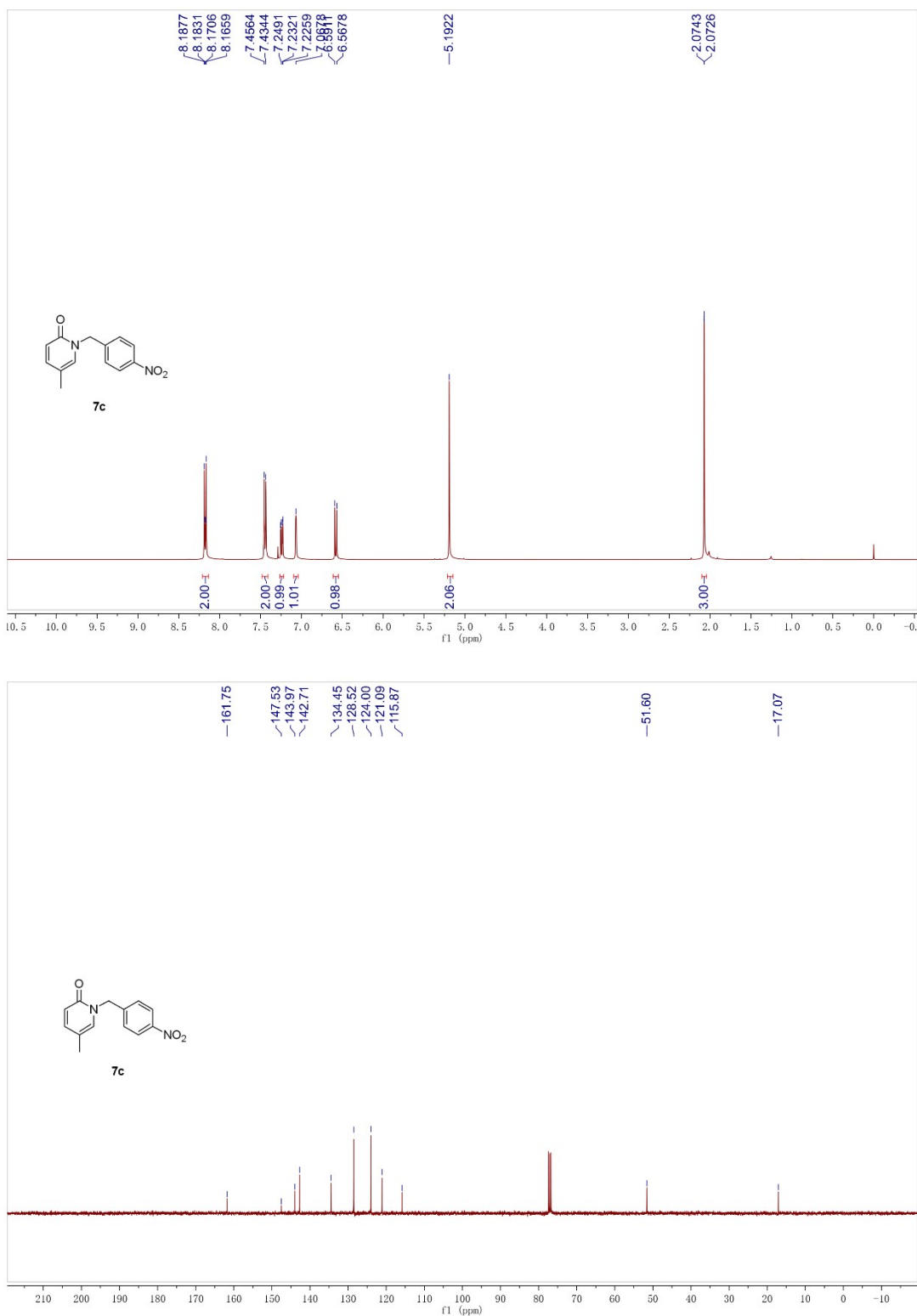


峰结果表 药物分析 - 1-1220-4 - 20210713-GCX21070901-001.lcd									
PDA Ch1 254nm									
峰号	保留时间	化合物名	半峰宽	高度 (mAU)	面积(mAU*min)	面积%	理论塔板数分离度	拖尾因子	最小峰纯度指数
1	5.412	M=199	0.043	72627	201777	97.45	65218	N/A	1.30
2	6.164		0.041	711	1945	0.94	88020	8.96	1.37
3	8.373		0.049	449	1409	0.68	118694	24.51	1.31
4	9.061		0.051	575	1923	0.93	126312	6.91	1.24

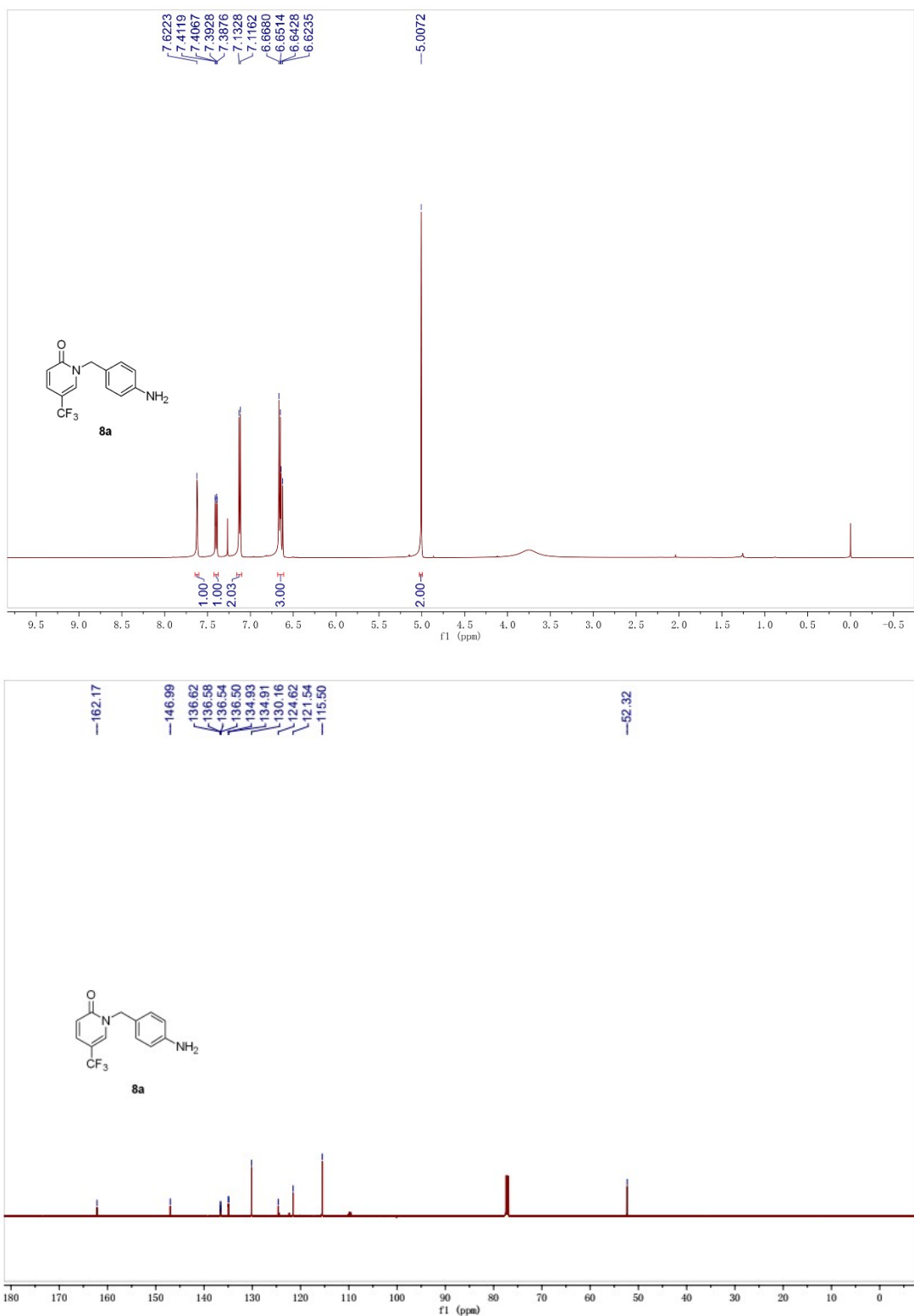
<sup>1</sup>H NMR and <sup>13</sup>C NMR of *7b*



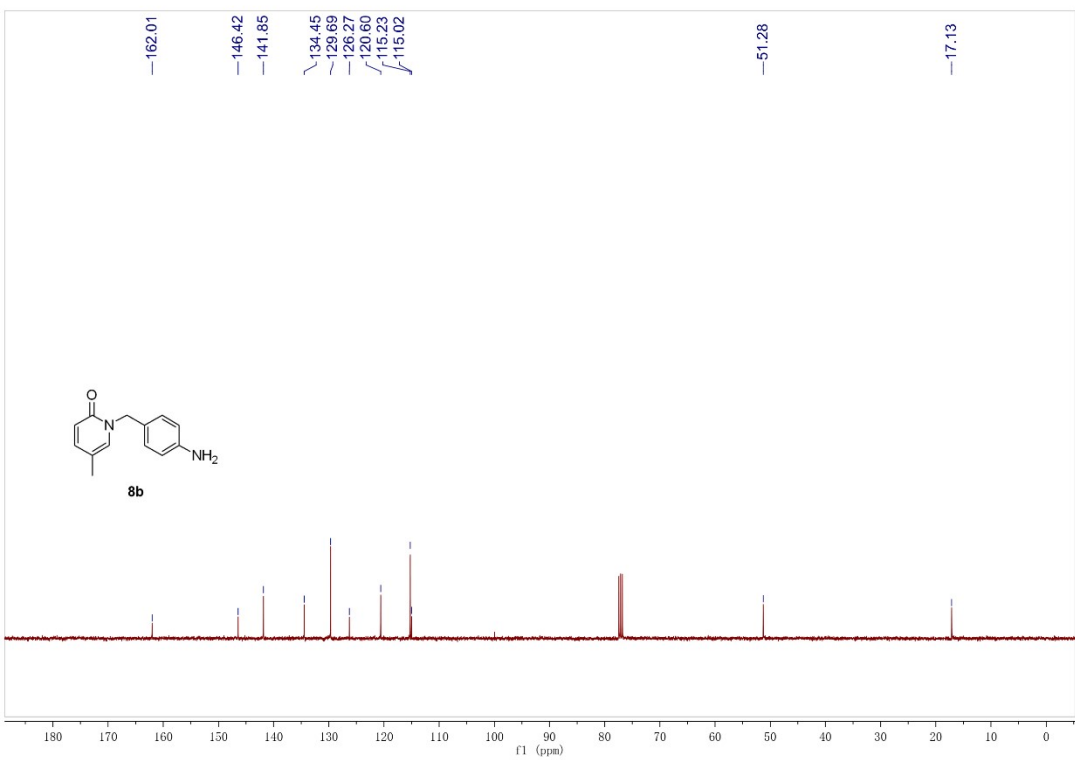
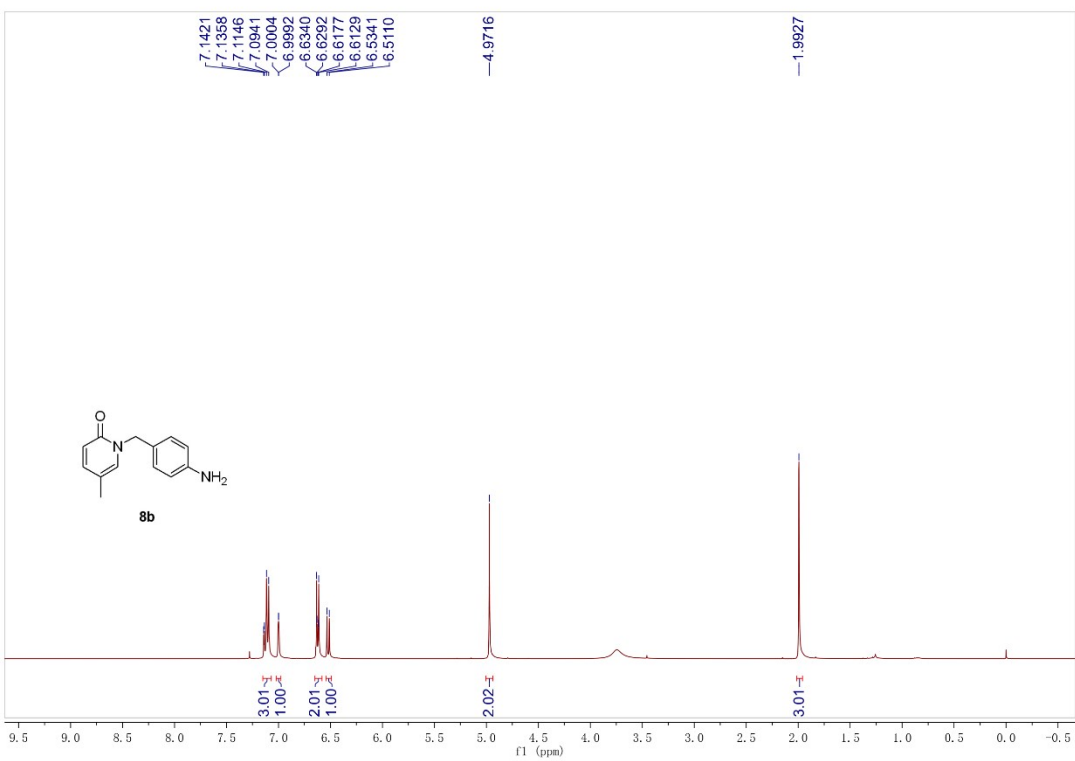
**<sup>1</sup>H NMR and <sup>13</sup>C NMR of 7c**



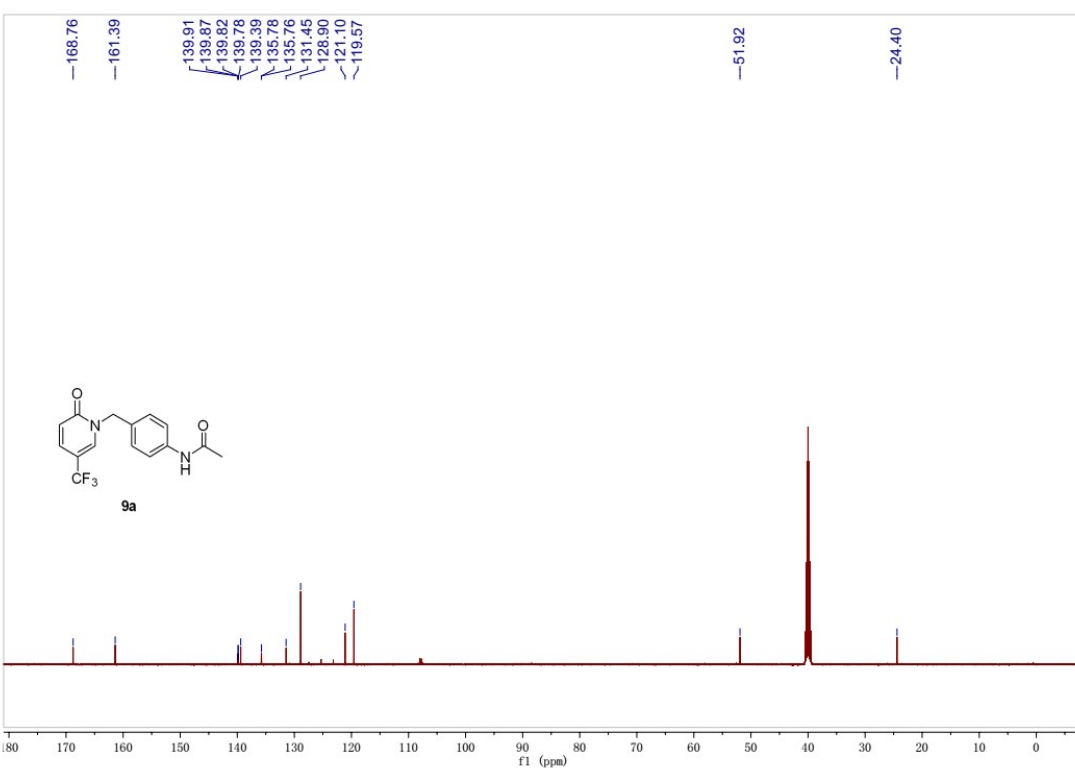
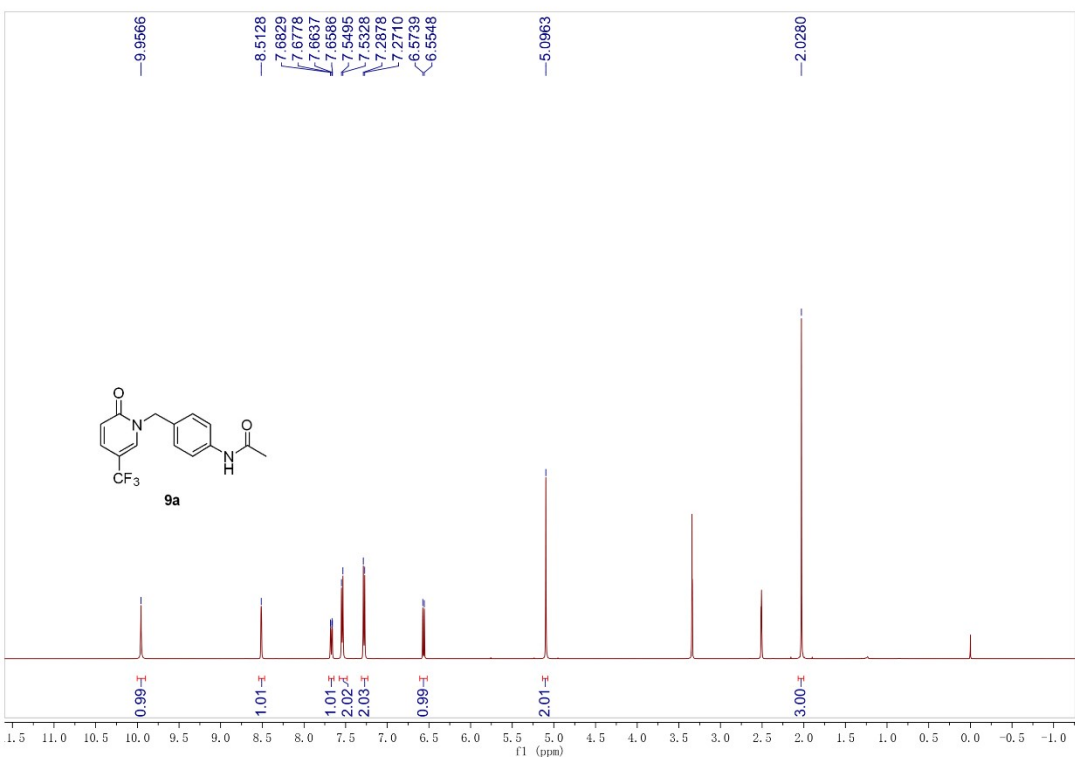
**<sup>1</sup>H NMR and <sup>13</sup>C NMR of 8a**



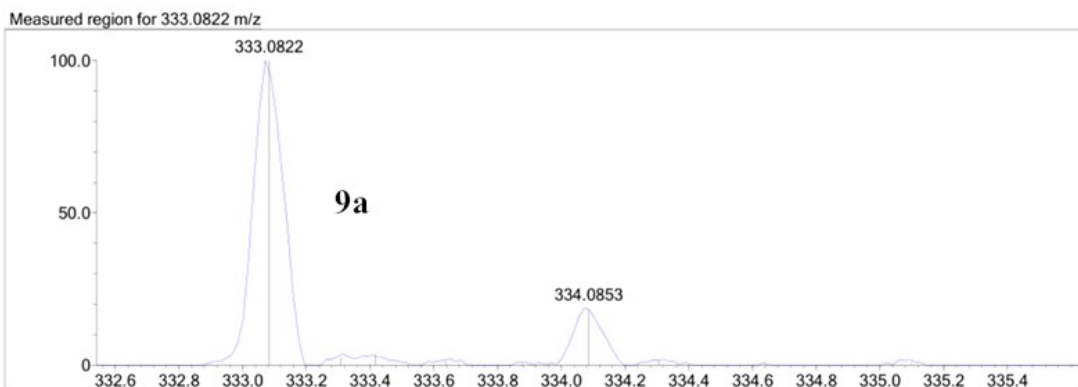
<sup>1</sup>H NMR and <sup>13</sup>C NMR of **8b**



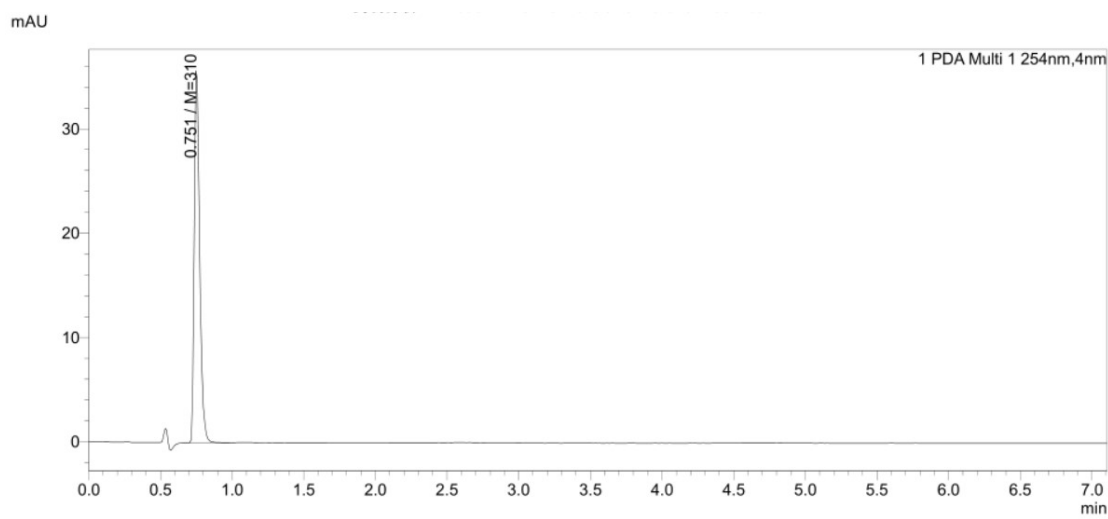
**<sup>1</sup>H NMR and <sup>13</sup>C NMR of 9a**



**Mass of 9a**

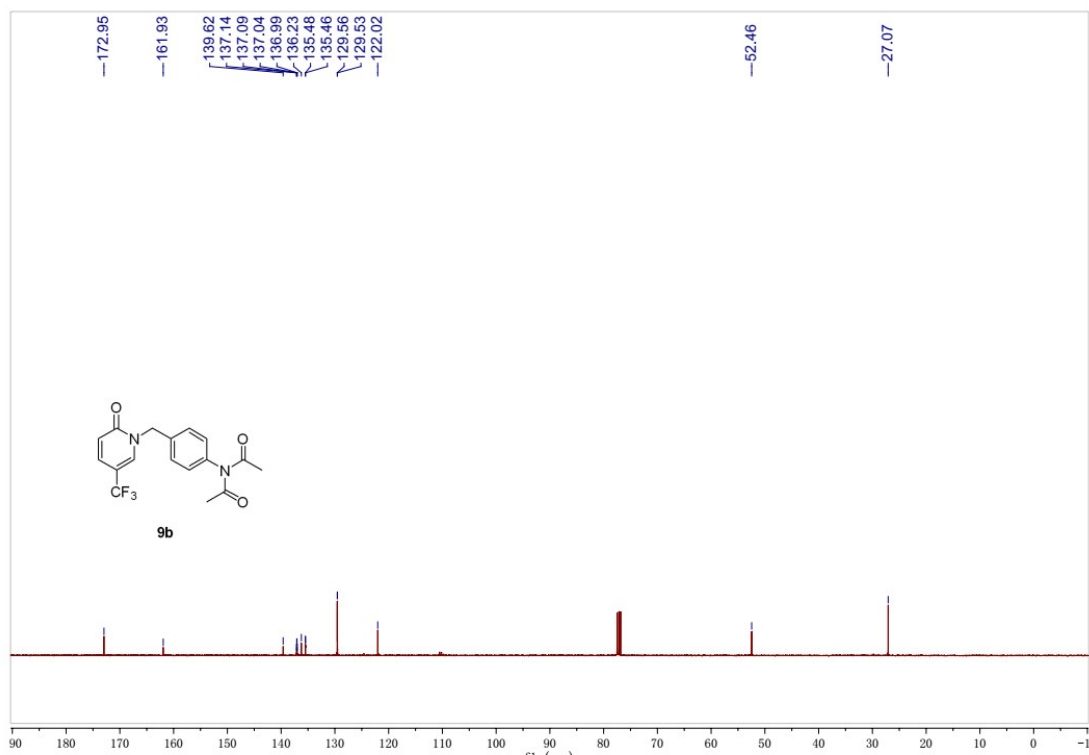
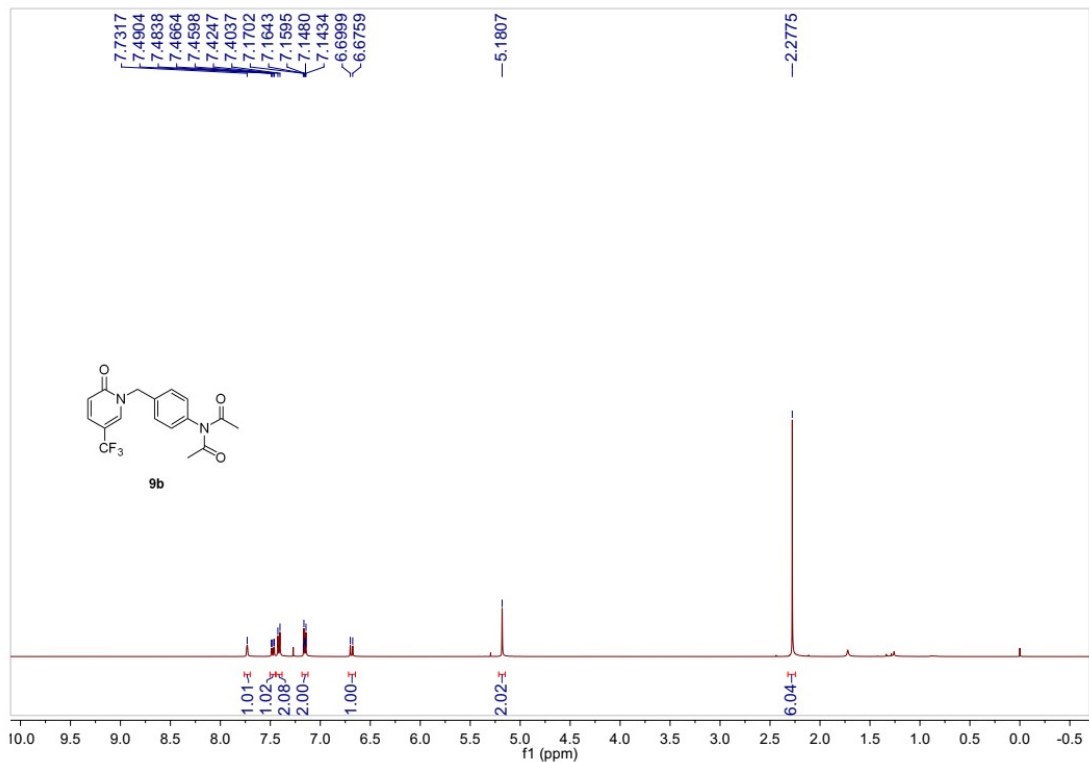


### HPLC of *9a*

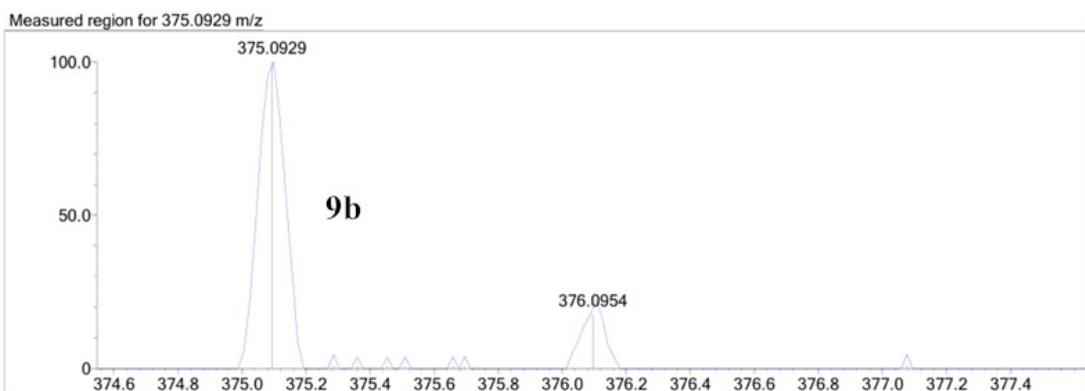


峰结果表 药物分析 - I-1395-2 - 20210729-GCX0728-310-2-001.lcd								
PDA Ch1 254nm								
峰号	保留时间	化合物名	半峰宽	高度 (mAU)	面积mAU*min	面积%	理论塔板数分离度	拖尾因子
1	0.751	M=310	0.040	35678	94773	100.00	1428	N/A 1.37

**<sup>1</sup>H NMR and <sup>13</sup>C NMR of 9b**

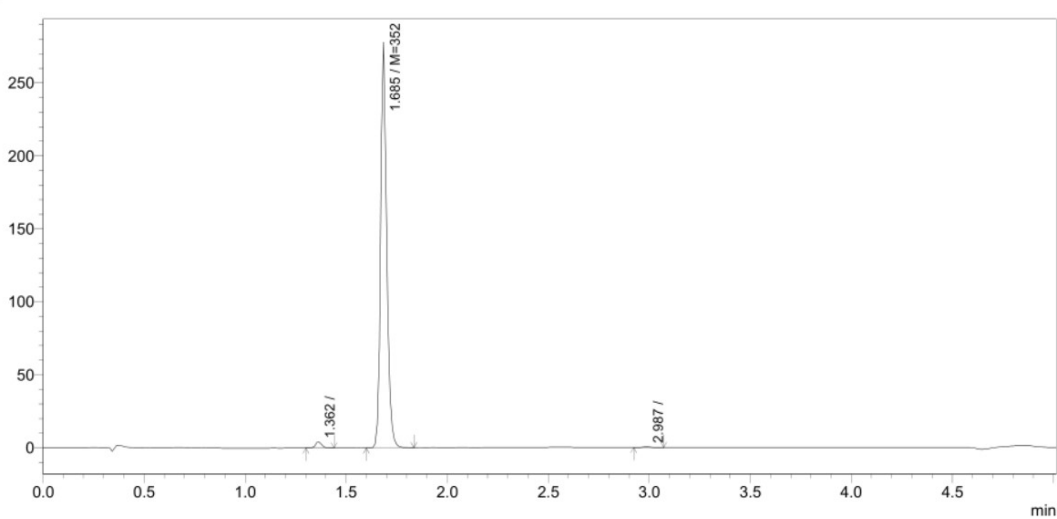


**Mass of 9b**



### HPLC of *9b*

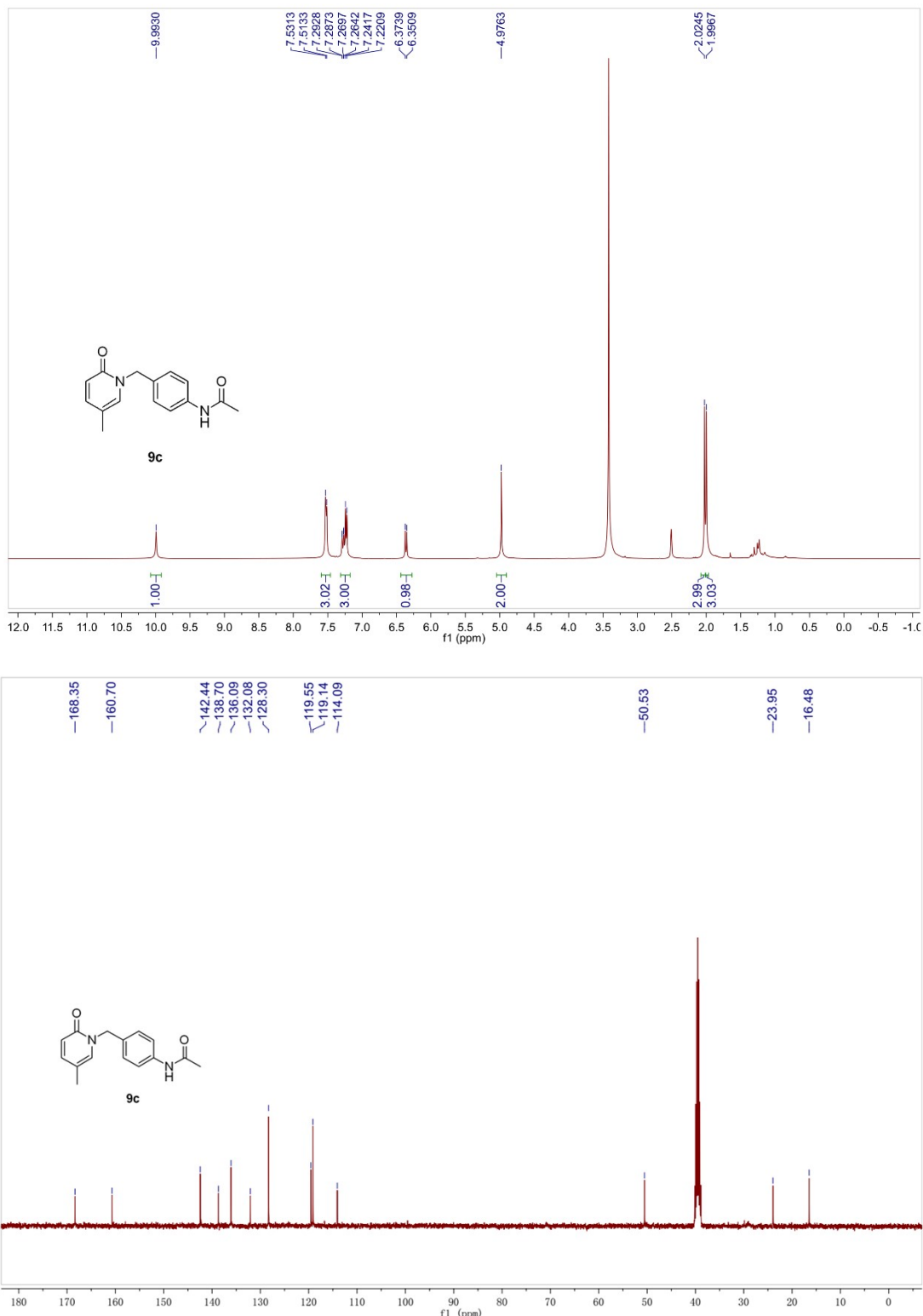
mAU



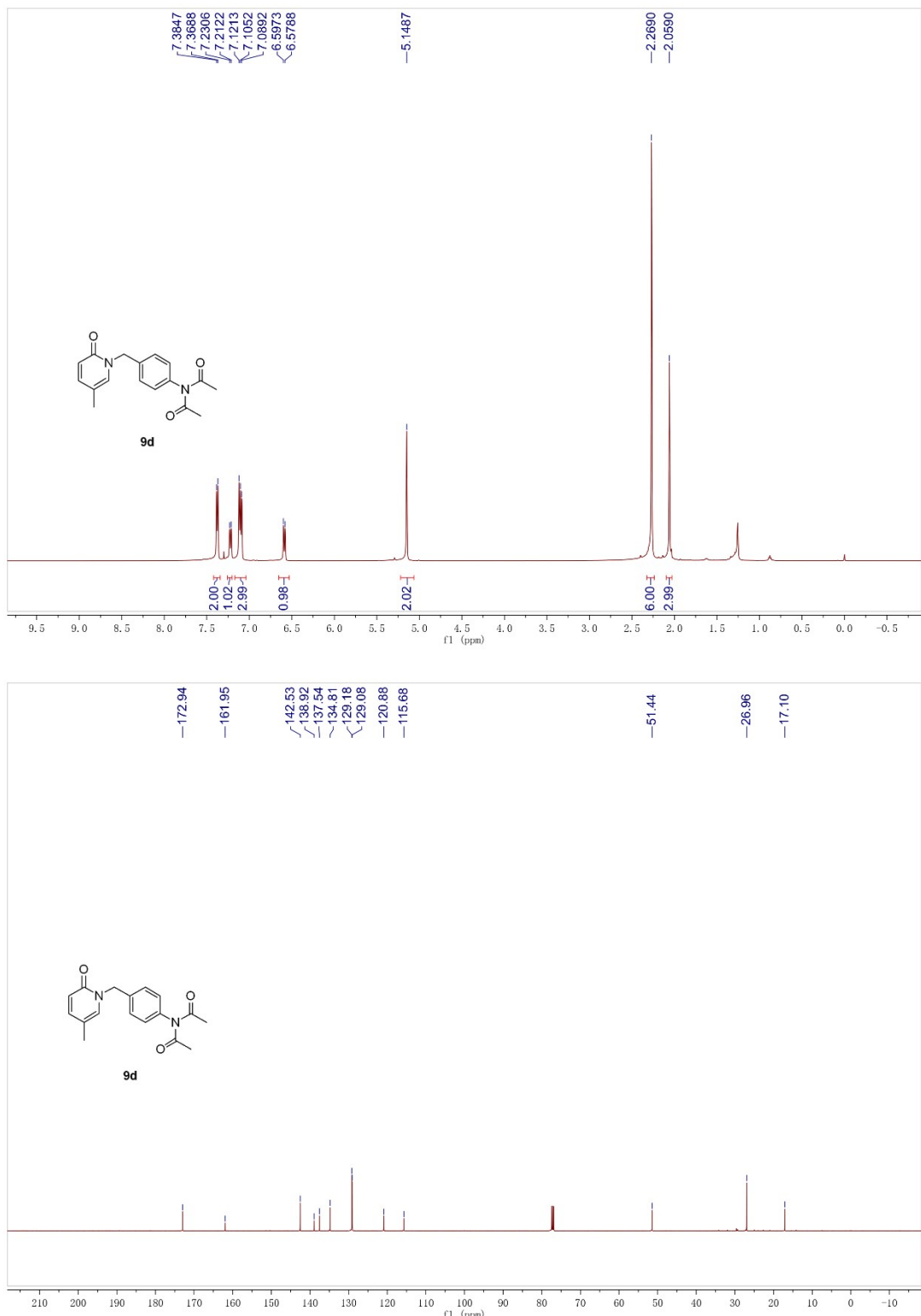
PDA Ch1 254nm

保留时间	化合物名	峰宽(高度 50%)	高度	面积	面积%	理论塔板数(USP)	拖尾因子	分离度 (USP)
1.362		0.033	4218	9342	1.569	7339	1.166	-
1.685 M=352		0.032	278141	584975	98.245	11327	1.158	5.077
2.987		0.041	409	1105	0.186	20346	1.058	17.710

**<sup>1</sup>H NMR and <sup>13</sup>C NMR of 9c**

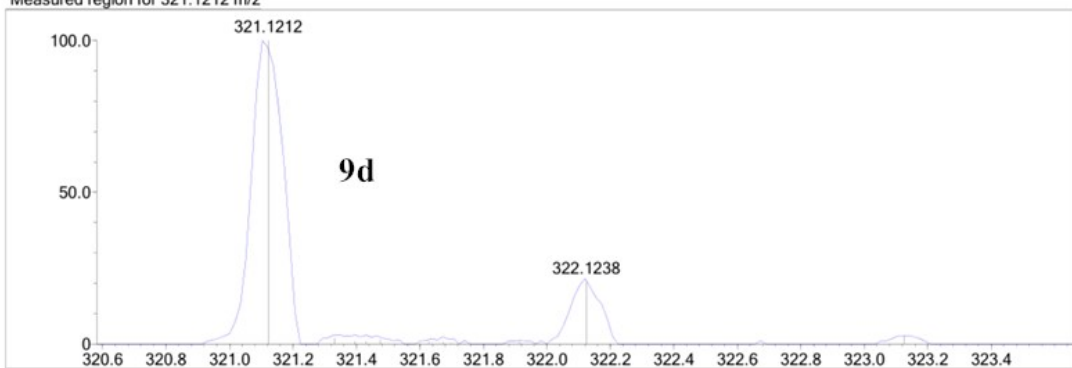


**<sup>1</sup>H NMR and <sup>13</sup>C NMR of 9d**



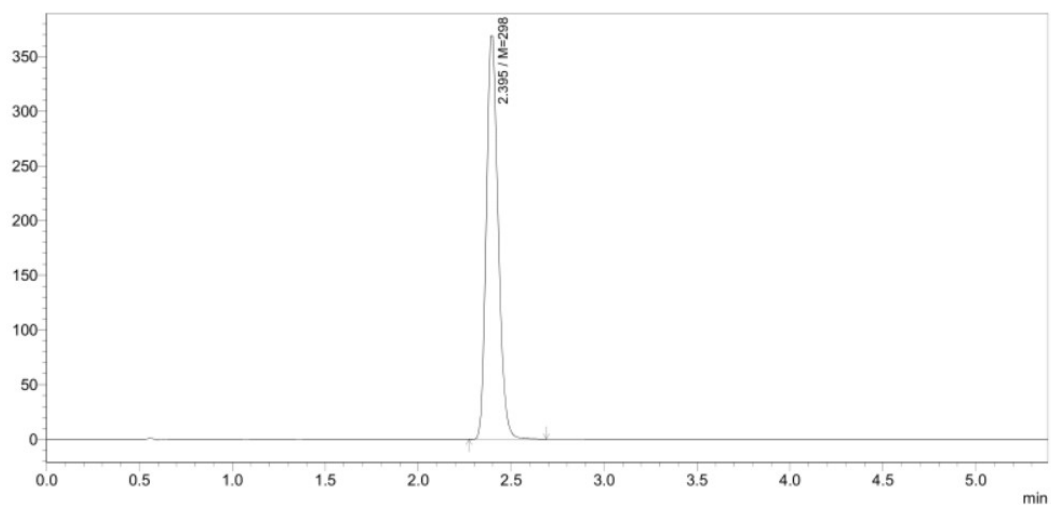
**Mass of 9d**

Measured region for 321.1212 m/z



### HPLC of *9d*

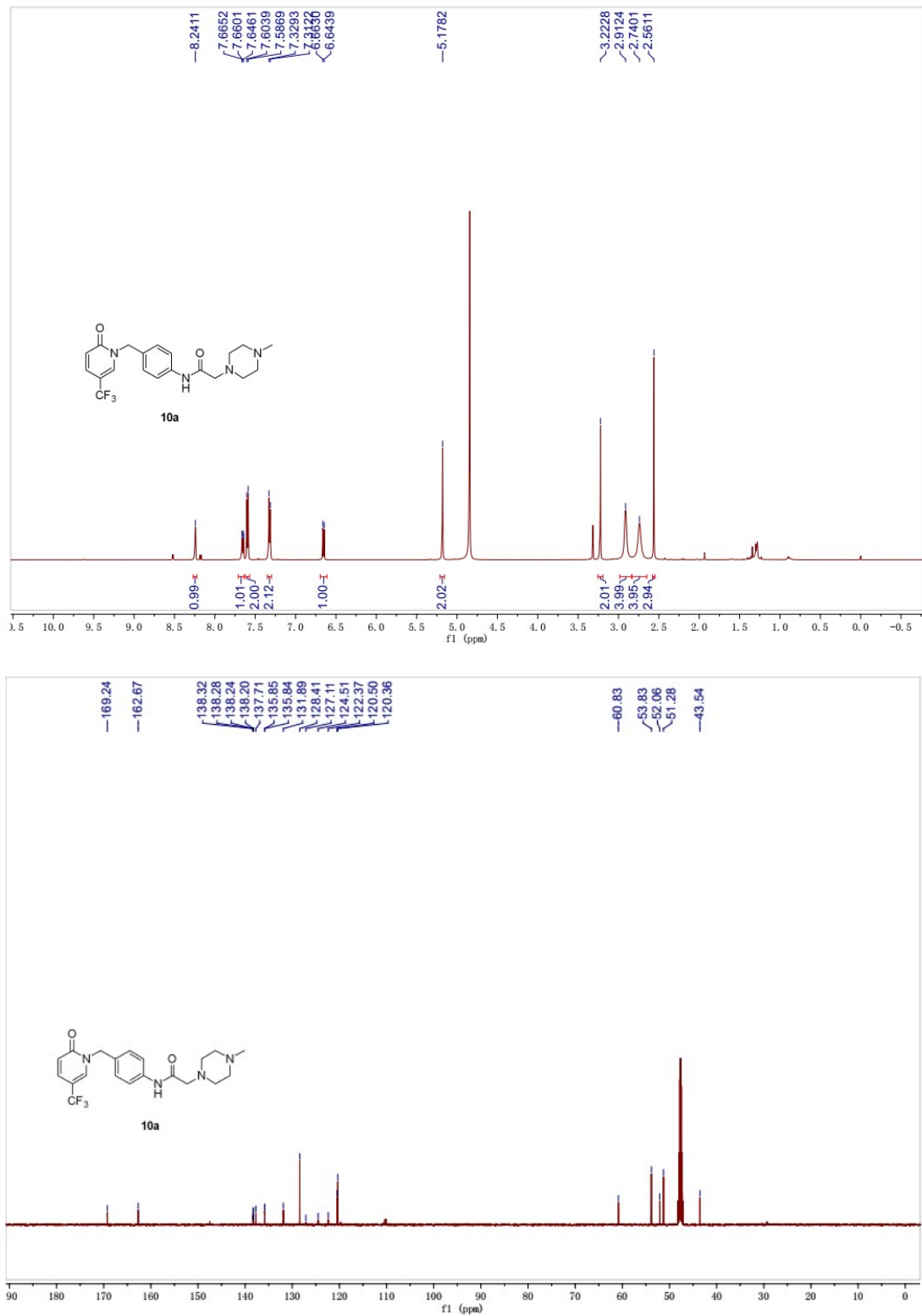
mAU



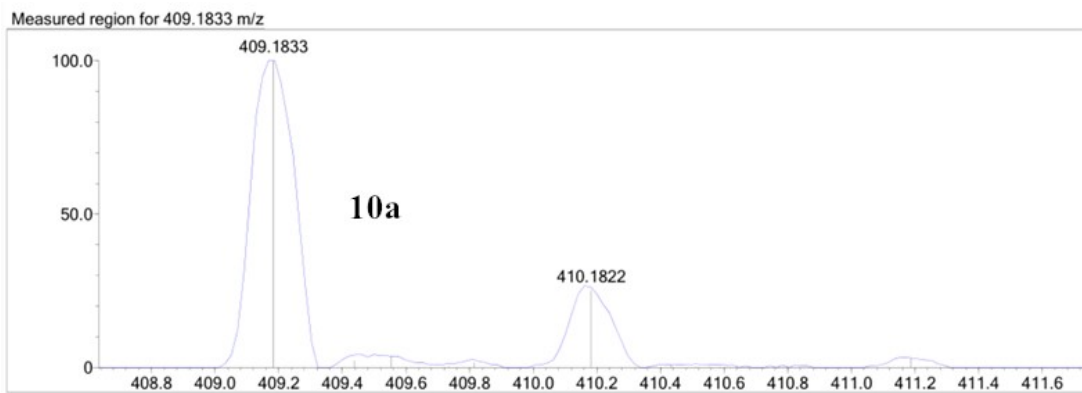
PDA Ch1 254nm

保留时间	化合物名	峰宽(高度 50%)	高度	面积	面积%	理论塔板数(USP)	拖尾因子	分离度(USP)
2.395	M=298	0.068	368902	1638048	100.000	5137	1.200	—

**$^1\text{H}$  NMR and  $^{13}\text{C}$  NMR of *10a***

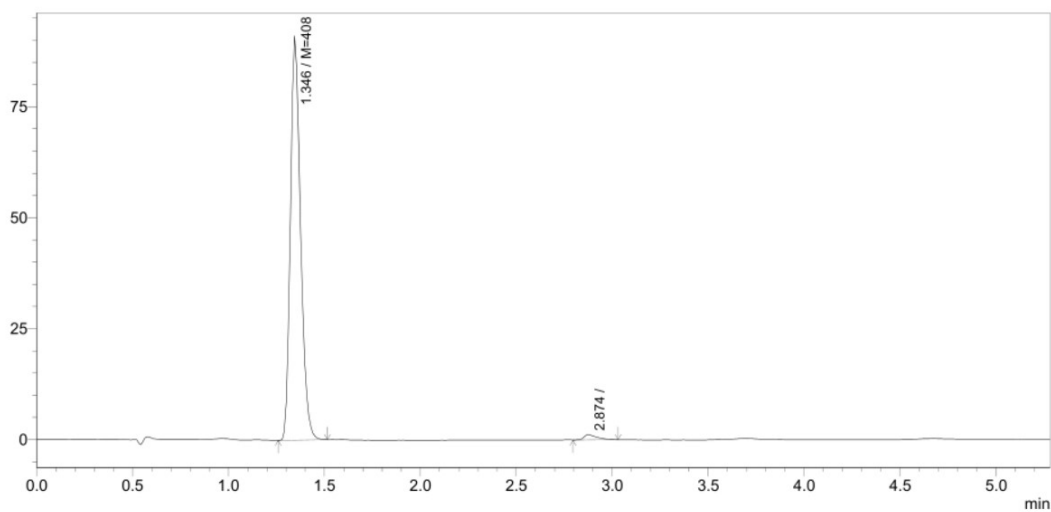


## Mass of *10a*



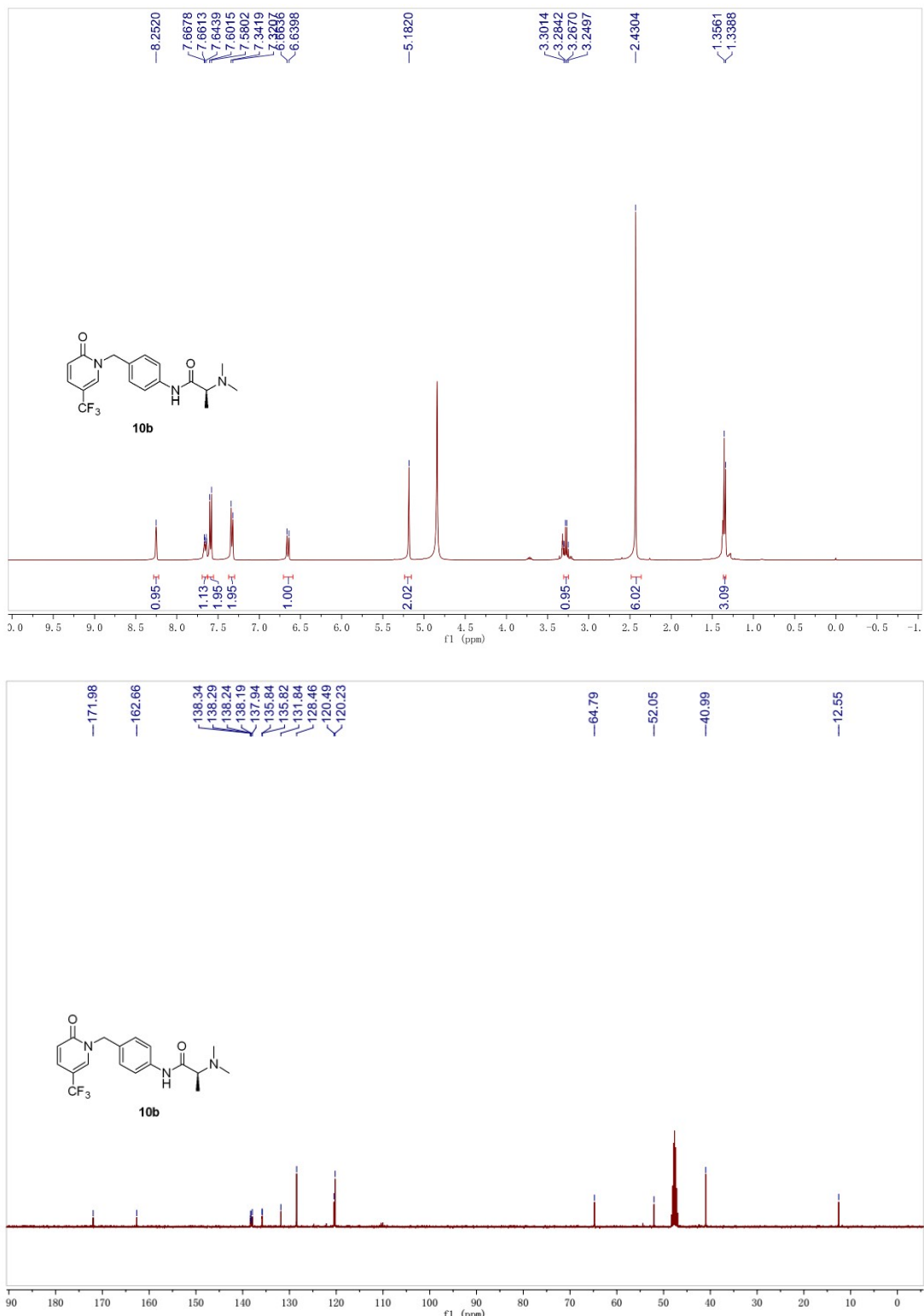
### HPLC of 10a

mAU



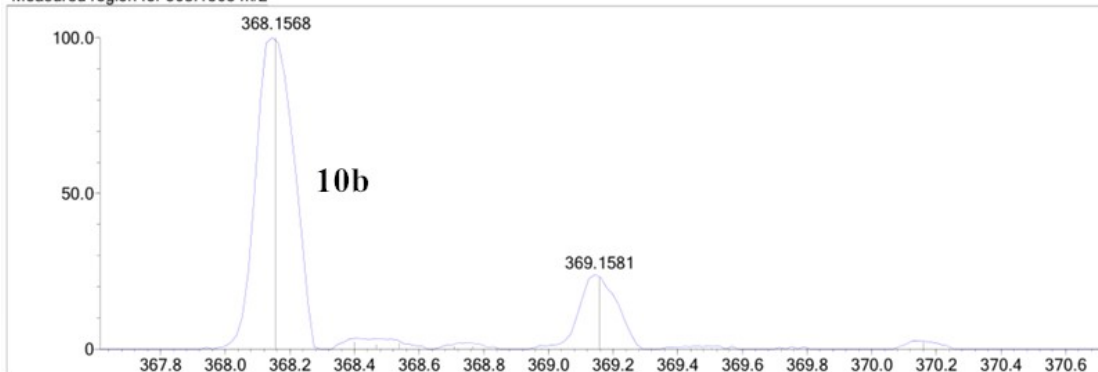
峰表							
PDA Ch1 254nm	化合物名	峰宽(高度 50%)	高度	面积	面积%	理论塔板数(USP)	拖尾因子
1.346 M=408		0.056	91140	334346	98.385	2232	1.246
2.874		0.069	1178	5487	1.615	6836	1.842
			92318	339833	100.000		12.082

**<sup>1</sup>H NMR and <sup>13</sup>C NMR of 10b**



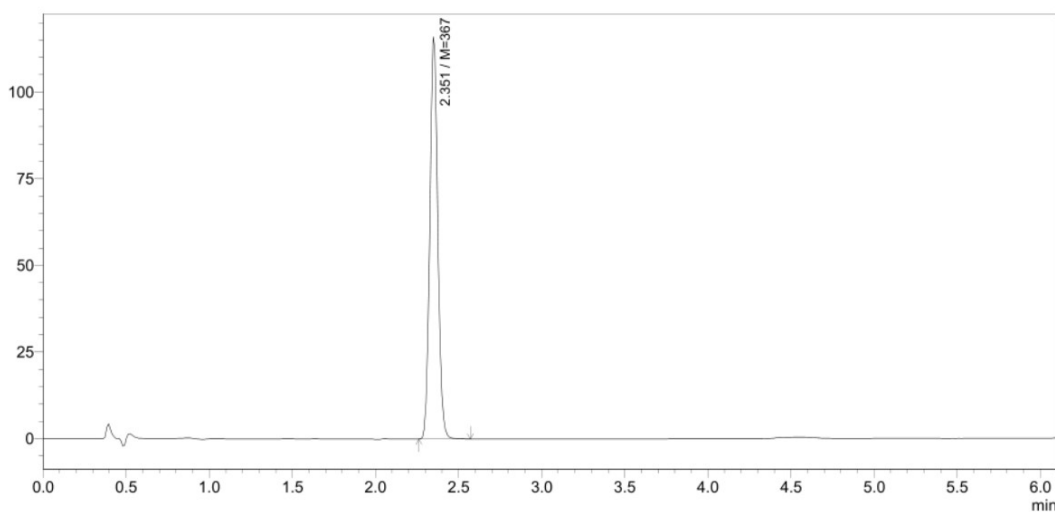
**Mass of 10b**

Measured region for 368.1568 m/z



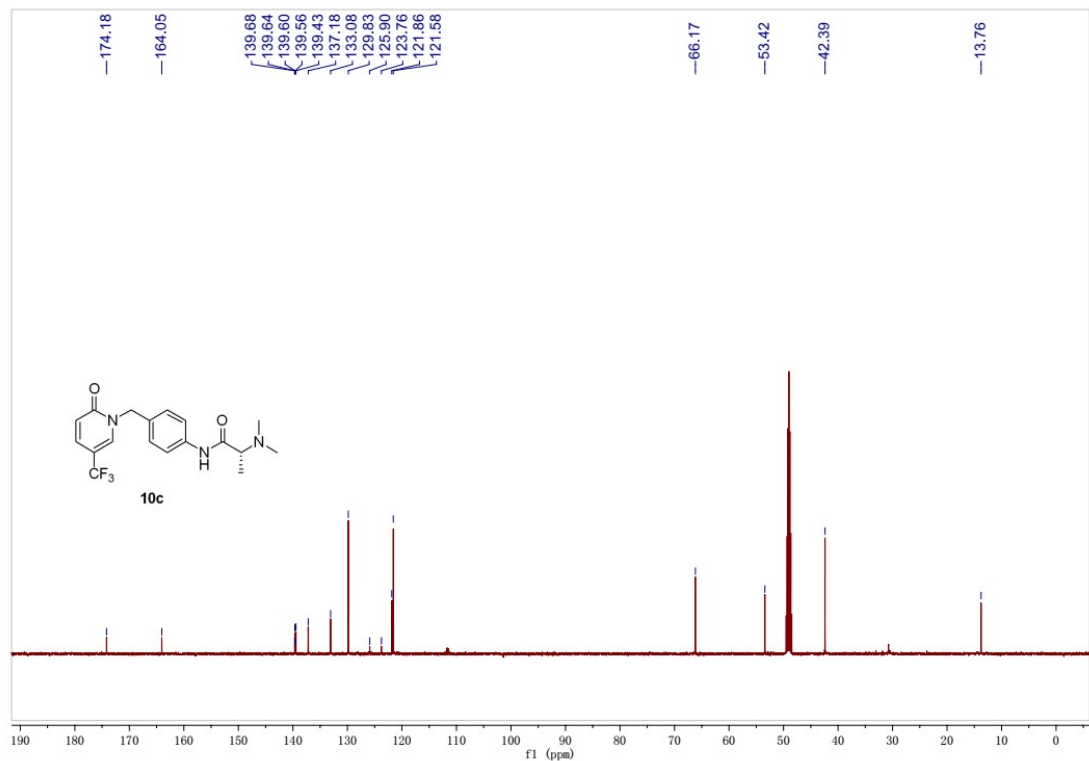
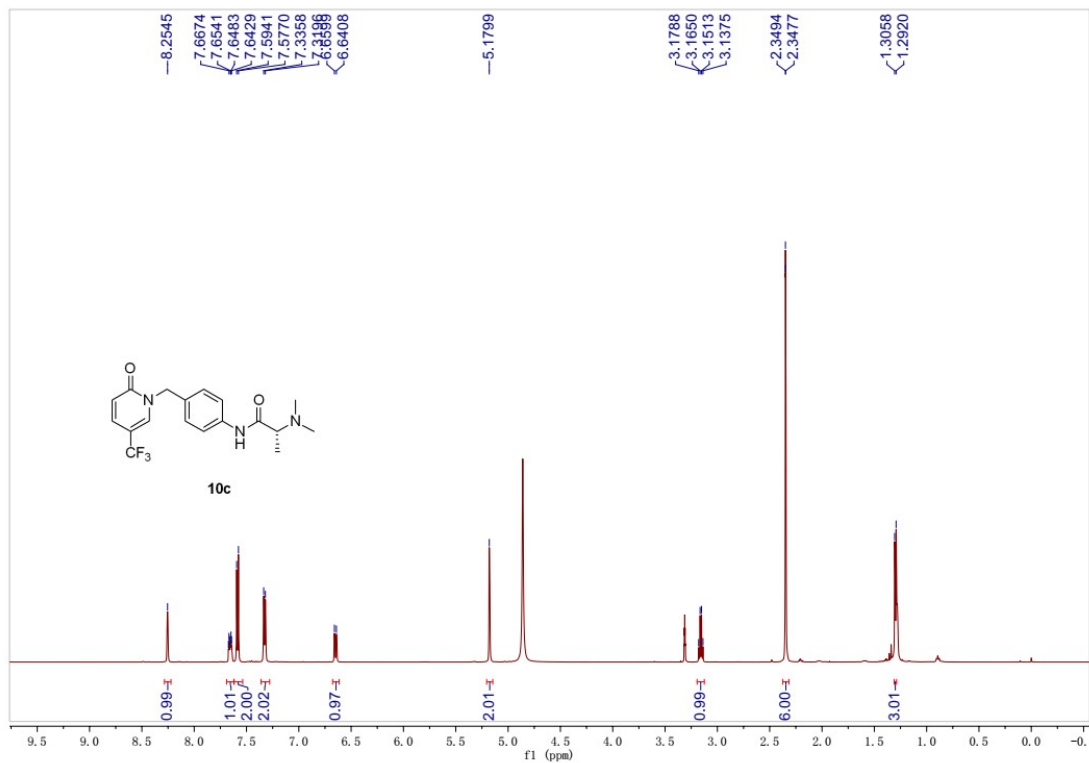
### HPLC of *10b*

mAU



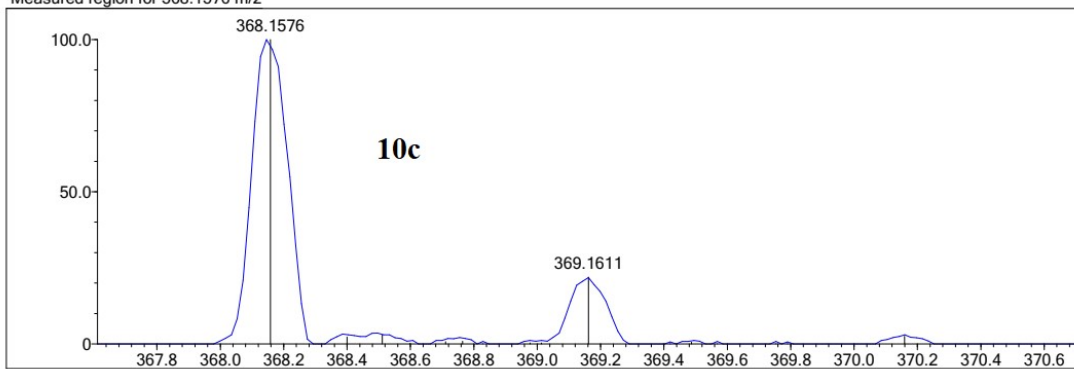
峰表							
PDA Ch1 254nm	化合物名	峰宽(高度 50%)	高度	面积	面积%	理论塔板数(USP)	拖尾因子
保留时间 2.351	M=367	0.051	116138	386711	100.000	8656	1.063

**<sup>1</sup>H NMR and <sup>13</sup>C NMR of 10c**



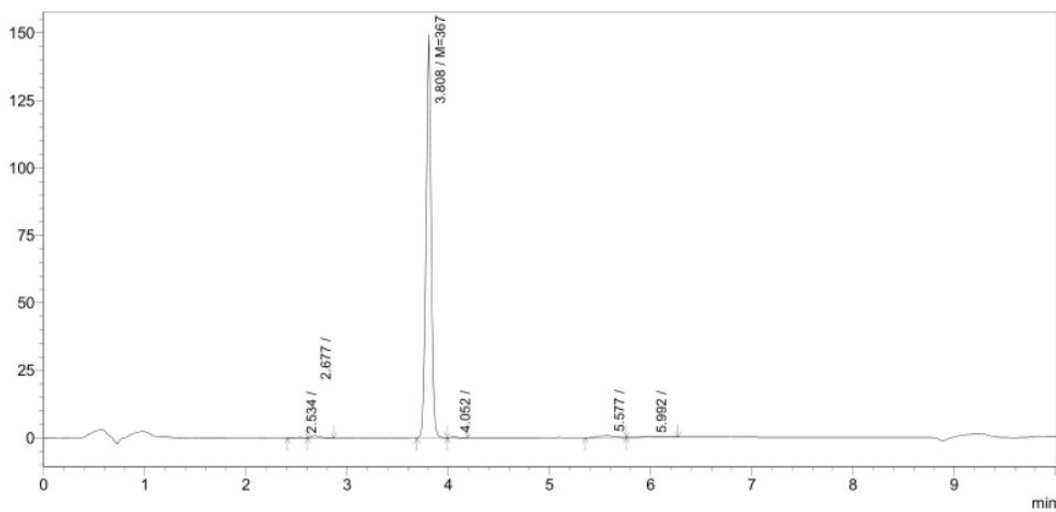
Mass of  $10c$

Measured region for 368.1576 m/z



### HPLC of *10c*

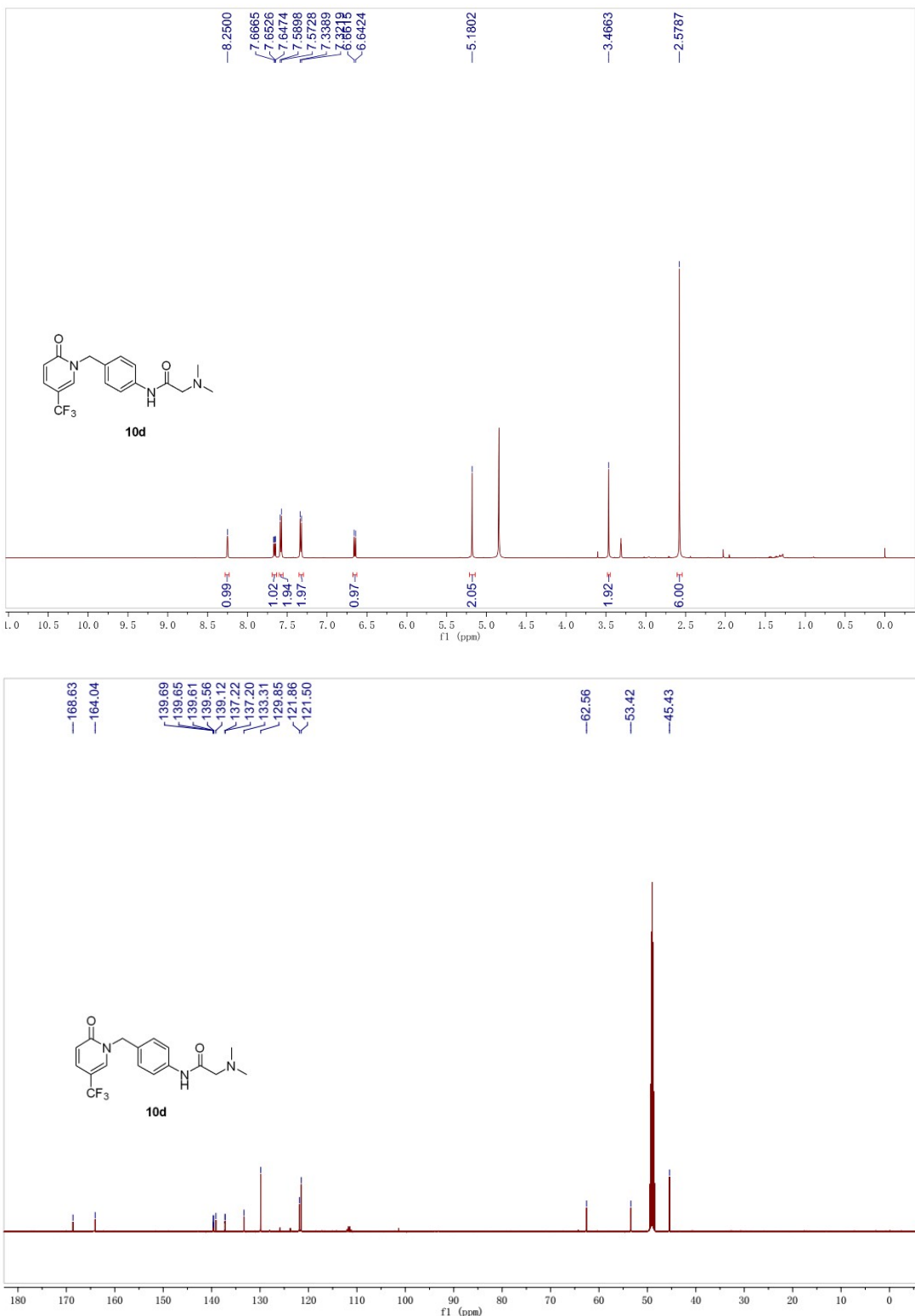
mAU



峰表

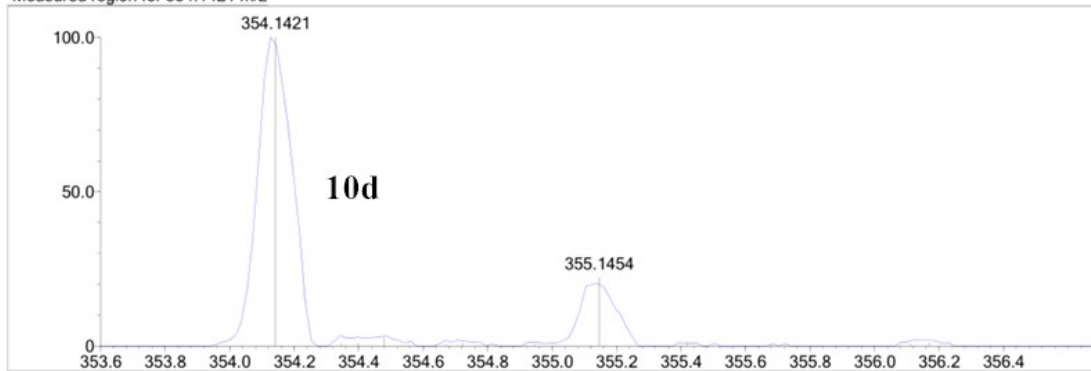
PDA Ch1 254nm 保留时间	化合物名	峰宽(高度 50%)	高度	面积	面積%	理论塔板数(USP)	拖尾因子	分离度(USP)
2.534		0.078	344	1746	0.315	4325	--	--
2.677		0.089	1010	5728	1.034	3906	--	0.879
3.808 M=367		0.054	149568	535555	96.687	18404	0.963	7.970
4.052		0.054	582	2267	0.409	20656	--	2.176
5.577		0.156	657	6677	1.205	7506	--	8.235
5.992		0.170	139	1934	0.349	5257	--	1.411
			152300	553906	100.000			

**$^1\text{H}$  NMR and  $^{13}\text{C}$  NMR of *10d***



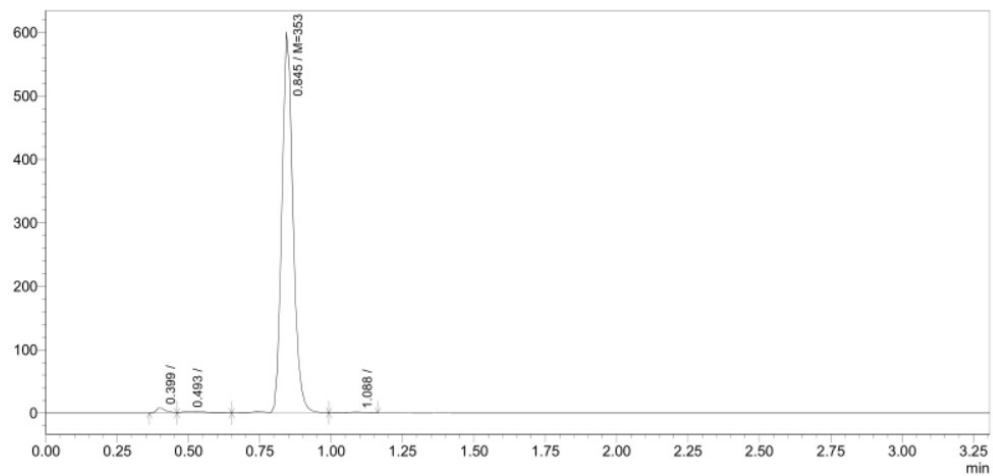
**Mass of *10d***

Measured region for 354.1421 m/z



### HPLC of *10d*

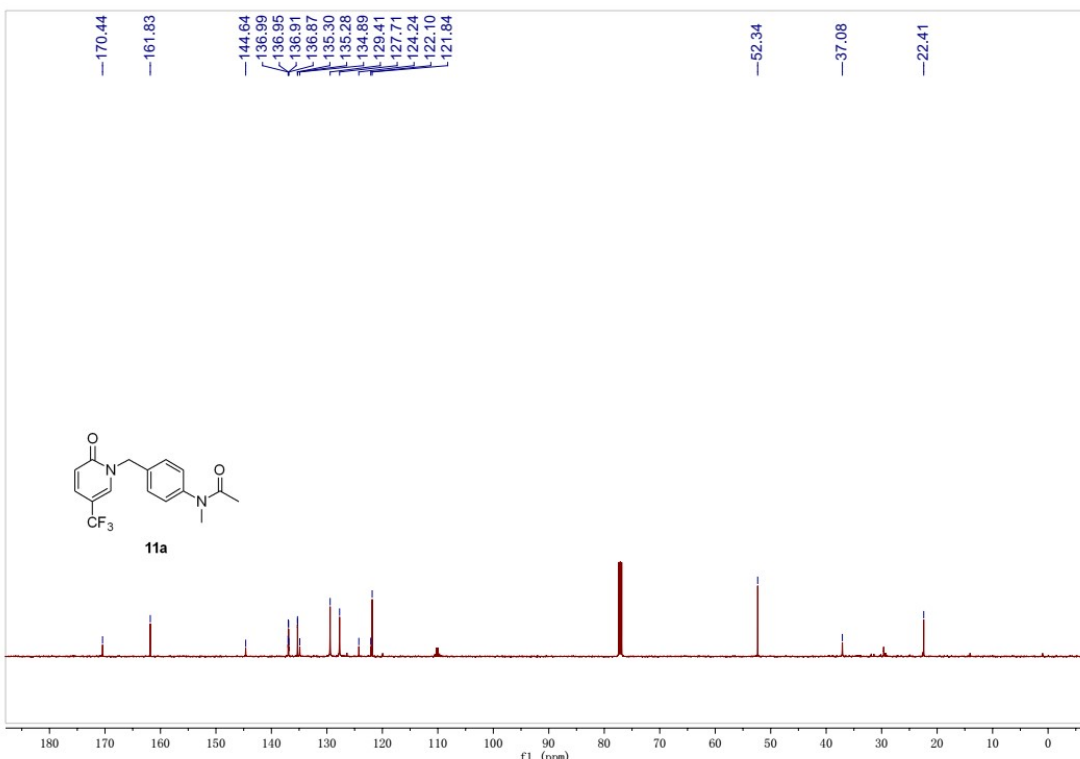
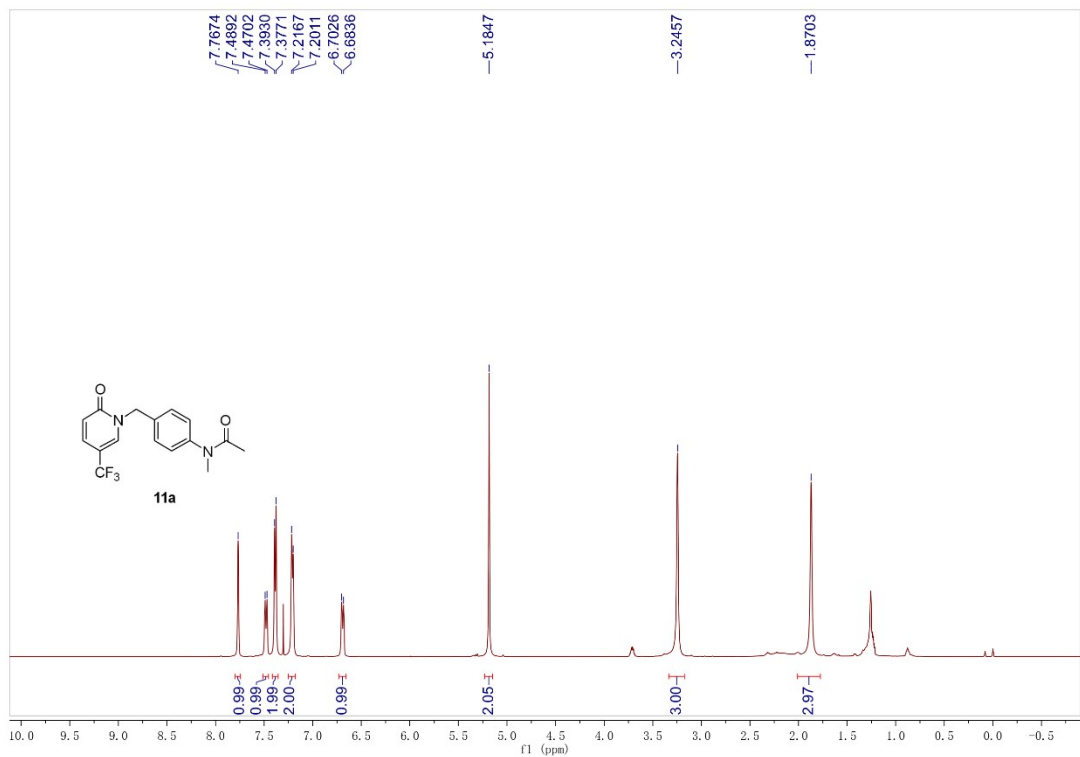
mAU



PDA, Ch1, 254nm

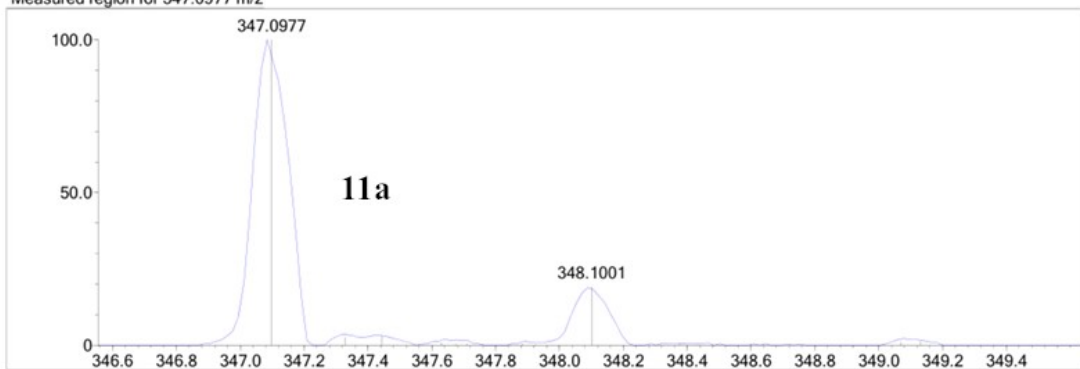
保留时间	化合物名	峰宽(高度 50%)	高度	面积	面数%	理论塔板数(USP)	拖尾因子	分离度(USP)
0.399		0.035	8136	20167	1.198	459	—	—
0.493		0.086	3170	19510	1.159	190	—	0.864
0.845 M=353		0.041	600939	1635676	97.170	1626	1.160	3.098
1.088		0.056	1486	7956	0.473	1224	—	2.333
			613732	1683308	100.000			

**<sup>1</sup>H NMR and <sup>13</sup>C NMR of *IIa***



**Mass of *IIa***

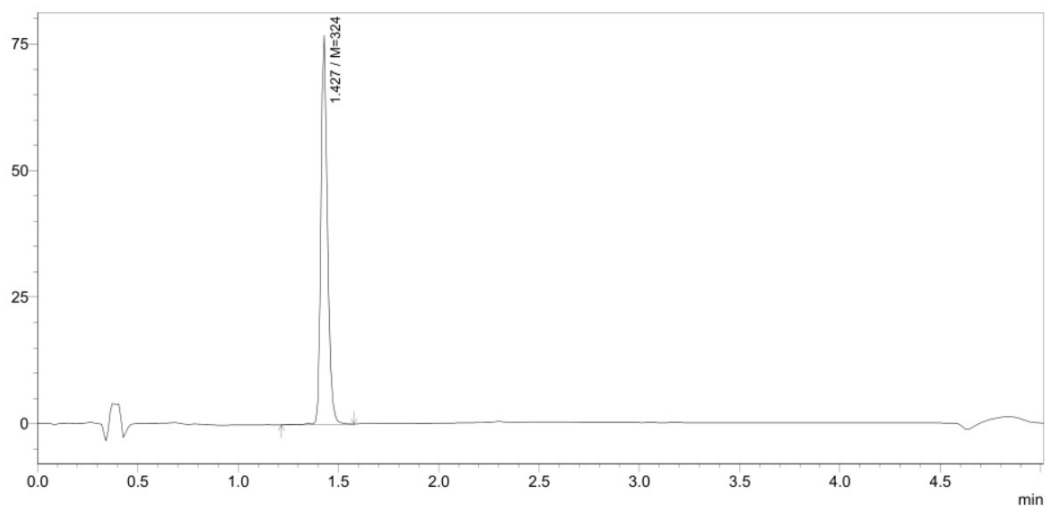
Measured region for 347.0977 m/z



**11a**

### HPLC of *11a*

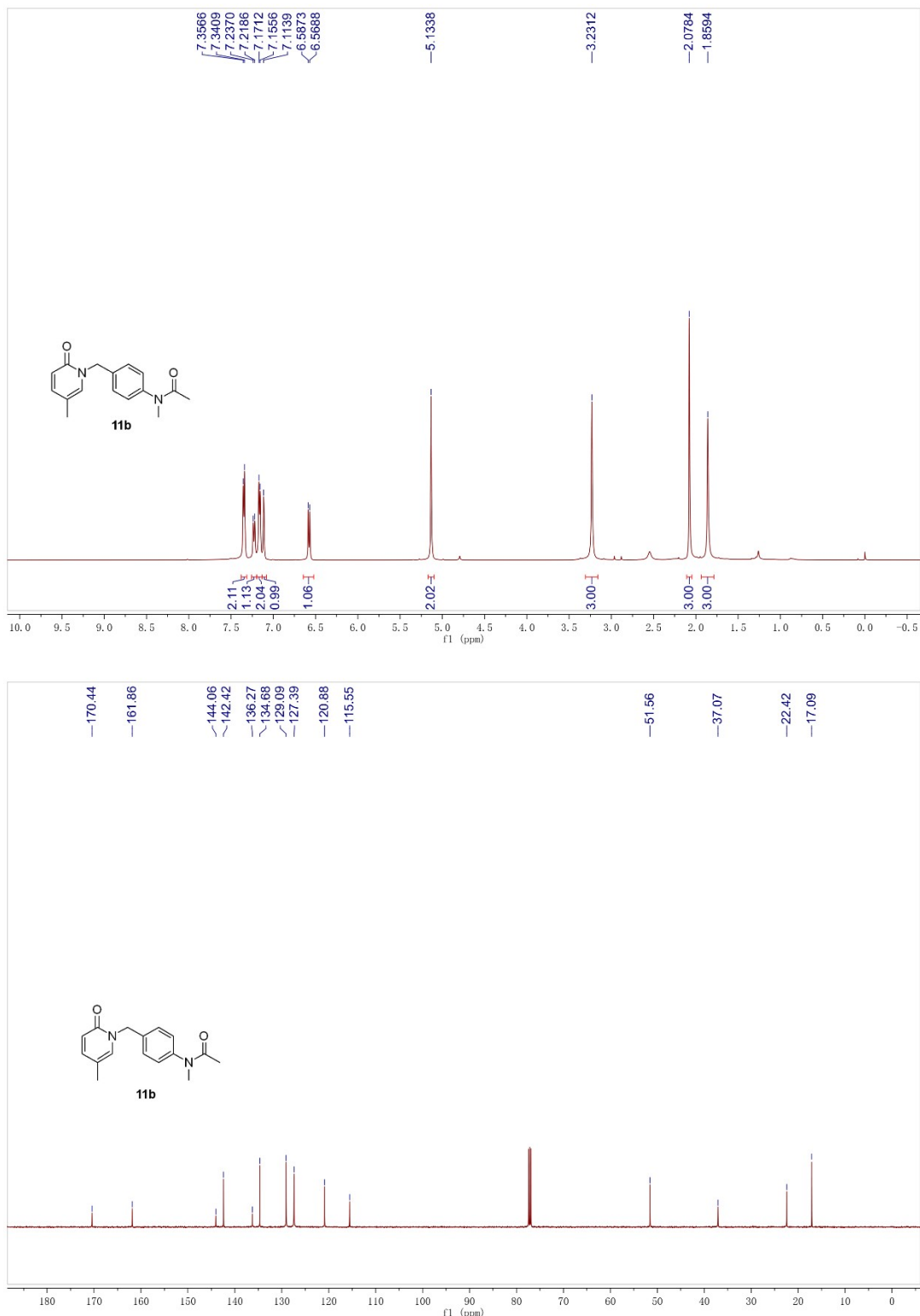
mAU



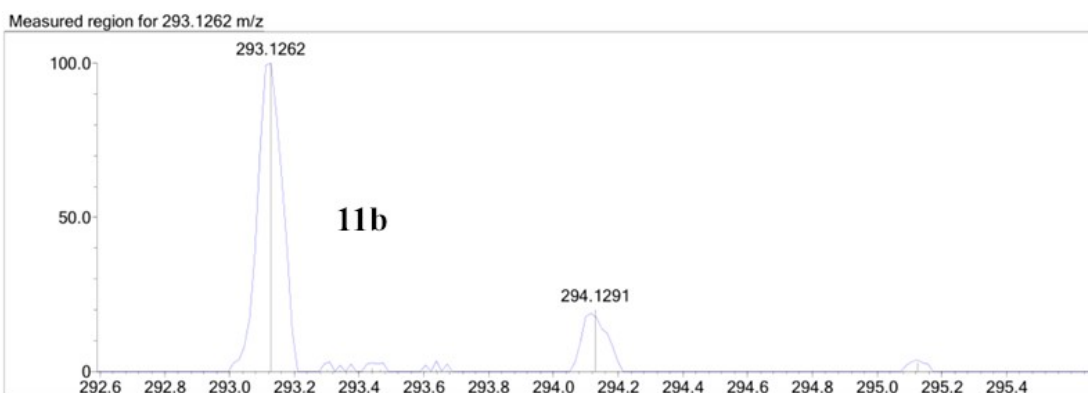
峰表

PDA Ch1 254nm							
保留时间	化合物名	峰宽(高度 50%)	高度	面积	面积%	理论塔板数(USP)	拖尾因子
1.427	M-324	0.034	76927	172646	100.000	7567	1.248

**<sup>1</sup>H NMR and <sup>13</sup>C NMR of *IIB***

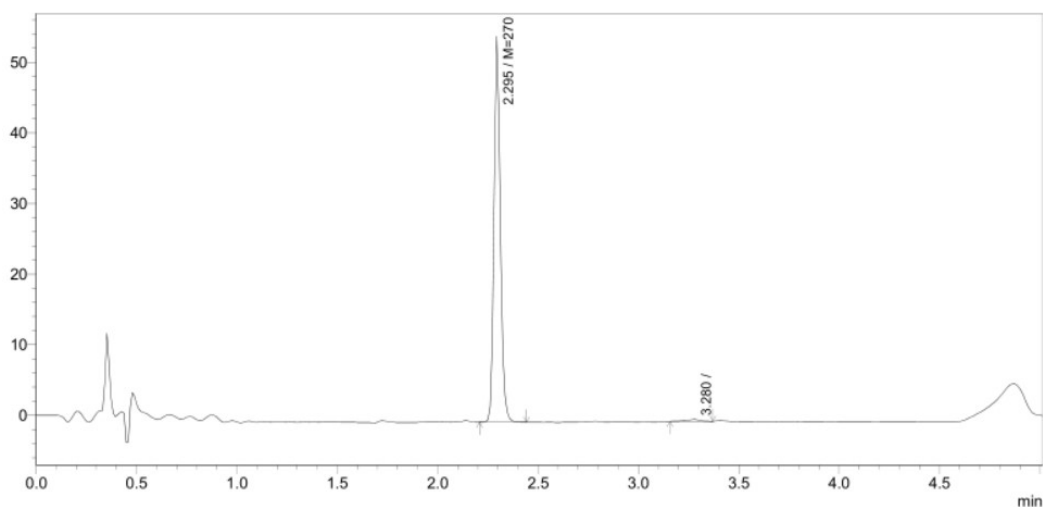


**Mass of *IIB***



### HPLC of 11b

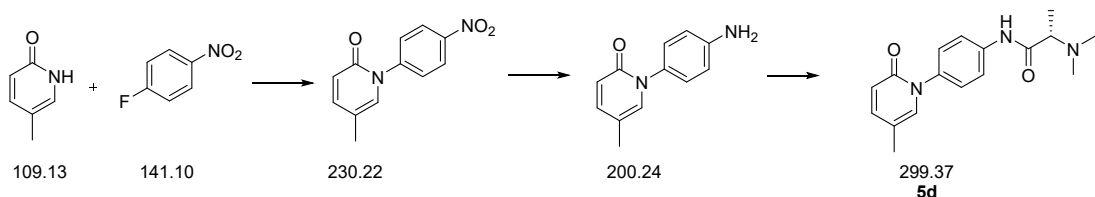
mAU



峰表							
PDA, Ch1: 254nm	化合物名	峰宽(高度 50%)	高度	面积	面積%	理论塔板数(USP)	拖尾因子
2.295 M=270		0.033	54667	119486	99.004	18556	1.202
3.280		0.058	271	1203	0.996	11936	0.733

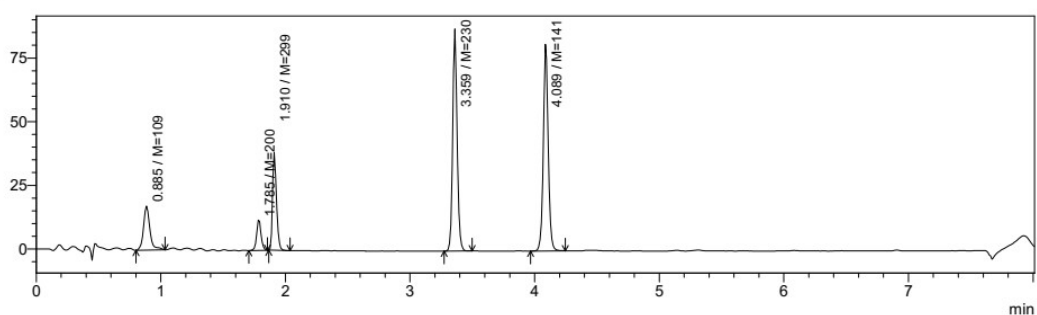
### Impurity analysis of 5d and 9d.

The synthetic route 5d.



The LC-MS analysis of the mixed samples of the optimal compound 5d and the substrates and intermediates

mAU

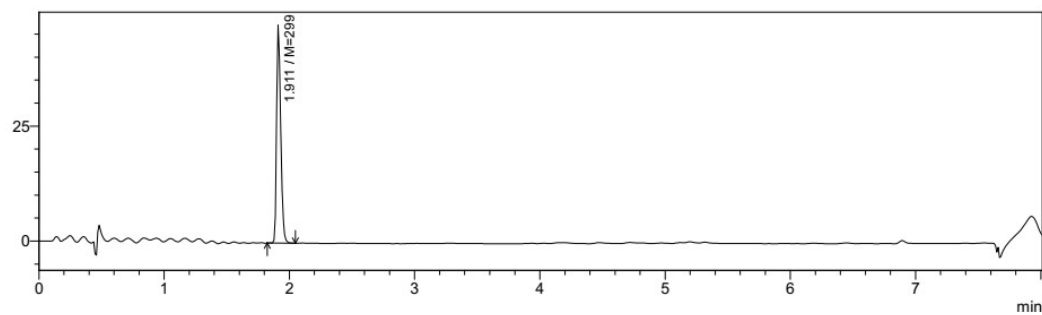


峰表

PDA Ch1 254nm	Ret. time	Name	width	height	Area	Area%	Theoretical Plate(USP)	Tailing Factor	Resolutin(UPS)
	0.885	M=109	0.051	17385	61423	9.985	1149	1.344	—
	1.785	M=200	0.039	11954	30727	4.995	8670	1.069	9.938
	1.910	M=299	0.034	38333	83425	13.562	12313	1.283	1.710
	3.359	M=230	0.037	87234	212533	34.550	32662	1.103	20.242
	4.089	M=141	0.042	81113	227046	36.909	38026	1.057	9.219

### The LC-MS analysis of the optimal compound **5d**.

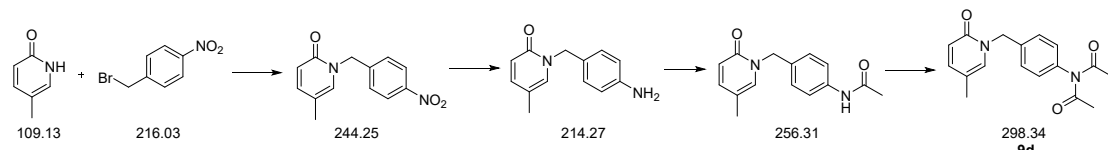
mAU



峰表

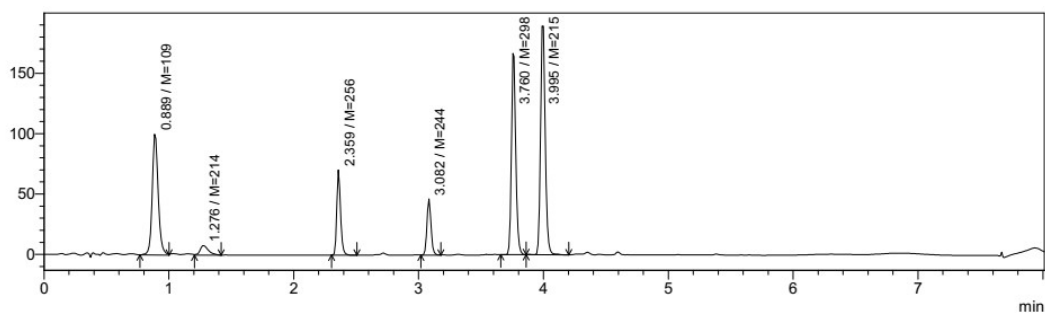
PDA Ch1 254nm	Ret. time	Name	width	height	Area	Area%	Theoretical Plate(USP)	Tailing Factor	Resolutin(UPS)
	1.911	M=299	0.035	47372	107621	100.000	11852	1.303	—
				47372	107621	100.000			

### The synthetic route **9d**.



The LC-MS analysis of the mixed samples of the optimal compound **9d** and the substrates and intermediates

mAU

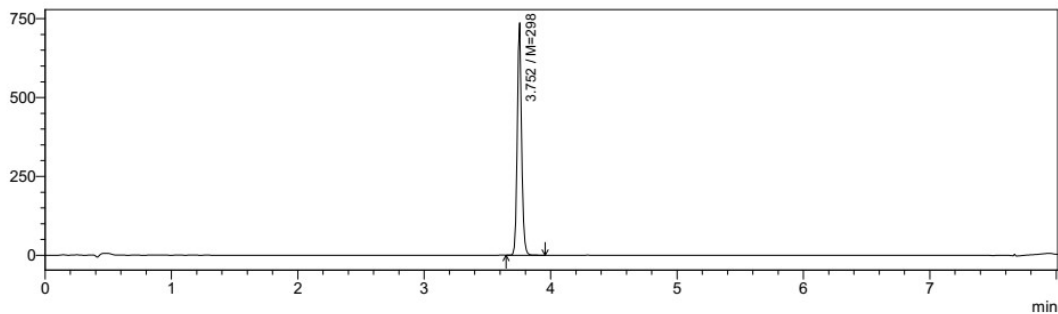


峰表

PDA Ch1 254nm								
Ret. time	Name	width	height	Area	Area%	Theoretical Plate(USP)	Tailing Factor	Resolutin(UPS)
0.889	M=109	0.048	100003	329761	21.612	1313	1.138	—
1.276	M=214	0.070	7967	38144	2.500	1333	—	3.253
2.359	M=256	0.032	70666	146847	9.624	21474	1.213	10.603
3.082	M=244	0.035	46440	105863	6.938	31251	1.138	10.784
3.760	M=298	0.038	166673	414733	27.181	41318	1.164	9.432

The LC-MS analysis of the optimal compound **9d**.

mAU



峰表

PDA Ch1 254nm								
Ret. time	Name	width	height	Area	Area%	Theoretical Plate(USP)	Tailing Factor	Resolutin(UPS)
3.752	M=298	0.037	736871	1793217	100.000	42471	1.104	—